

This is a digital copy of a book that was preserved for generations on library shelves before it was carefully scanned by Google as part of a project to make the world's books discoverable online.

It has survived long enough for the copyright to expire and the book to enter the public domain. A public domain book is one that was never subject to copyright or whose legal copyright term has expired. Whether a book is in the public domain may vary country to country. Public domain books are our gateways to the past, representing a wealth of history, culture and knowledge that's often difficult to discover.

Marks, notations and other marginalia present in the original volume will appear in this file - a reminder of this book's long journey from the publisher to a library and finally to you.

#### Usage guidelines

Google is proud to partner with libraries to digitize public domain materials and make them widely accessible. Public domain books belong to the public and we are merely their custodians. Nevertheless, this work is expensive, so in order to keep providing this resource, we have taken steps to prevent abuse by commercial parties, including placing technical restrictions on automated querying.

We also ask that you:

- + *Make non-commercial use of the files* We designed Google Book Search for use by individuals, and we request that you use these files for personal, non-commercial purposes.
- + Refrain from automated querying Do not send automated queries of any sort to Google's system: If you are conducting research on machine translation, optical character recognition or other areas where access to a large amount of text is helpful, please contact us. We encourage the use of public domain materials for these purposes and may be able to help.
- + *Maintain attribution* The Google "watermark" you see on each file is essential for informing people about this project and helping them find additional materials through Google Book Search. Please do not remove it.
- + *Keep it legal* Whatever your use, remember that you are responsible for ensuring that what you are doing is legal. Do not assume that just because we believe a book is in the public domain for users in the United States, that the work is also in the public domain for users in other countries. Whether a book is still in copyright varies from country to country, and we can't offer guidance on whether any specific use of any specific book is allowed. Please do not assume that a book's appearance in Google Book Search means it can be used in any manner anywhere in the world. Copyright infringement liability can be quite severe.

#### **About Google Book Search**

Google's mission is to organize the world's information and to make it universally accessible and useful. Google Book Search helps readers discover the world's books while helping authors and publishers reach new audiences. You can search through the full text of this book on the web at http://books.google.com/



#### Über dieses Buch

Dies ist ein digitales Exemplar eines Buches, das seit Generationen in den Regalen der Bibliotheken aufbewahrt wurde, bevor es von Google im Rahmen eines Projekts, mit dem die Bücher dieser Welt online verfügbar gemacht werden sollen, sorgfältig gescannt wurde.

Das Buch hat das Urheberrecht überdauert und kann nun öffentlich zugänglich gemacht werden. Ein öffentlich zugängliches Buch ist ein Buch, das niemals Urheberrechten unterlag oder bei dem die Schutzfrist des Urheberrechts abgelaufen ist. Ob ein Buch öffentlich zugänglich ist, kann von Land zu Land unterschiedlich sein. Öffentlich zugängliche Bücher sind unser Tor zur Vergangenheit und stellen ein geschichtliches, kulturelles und wissenschaftliches Vermögen dar, das häufig nur schwierig zu entdecken ist.

Gebrauchsspuren, Anmerkungen und andere Randbemerkungen, die im Originalband enthalten sind, finden sich auch in dieser Datei – eine Erinnerung an die lange Reise, die das Buch vom Verleger zu einer Bibliothek und weiter zu Ihnen hinter sich gebracht hat.

#### Nutzungsrichtlinien

Google ist stolz, mit Bibliotheken in partnerschaftlicher Zusammenarbeit öffentlich zugängliches Material zu digitalisieren und einer breiten Masse zugänglich zu machen. Öffentlich zugängliche Bücher gehören der Öffentlichkeit, und wir sind nur ihre Hüter. Nichtsdestotrotz ist diese Arbeit kostspielig. Um diese Ressource weiterhin zur Verfügung stellen zu können, haben wir Schritte unternommen, um den Missbrauch durch kommerzielle Parteien zu verhindern. Dazu gehören technische Einschränkungen für automatisierte Abfragen.

Wir bitten Sie um Einhaltung folgender Richtlinien:

- + *Nutzung der Dateien zu nichtkommerziellen Zwecken* Wir haben Google Buchsuche für Endanwender konzipiert und möchten, dass Sie diese Dateien nur für persönliche, nichtkommerzielle Zwecke verwenden.
- + *Keine automatisierten Abfragen* Senden Sie keine automatisierten Abfragen irgendwelcher Art an das Google-System. Wenn Sie Recherchen über maschinelle Übersetzung, optische Zeichenerkennung oder andere Bereiche durchführen, in denen der Zugang zu Text in großen Mengen nützlich ist, wenden Sie sich bitte an uns. Wir fördern die Nutzung des öffentlich zugänglichen Materials für diese Zwecke und können Ihnen unter Umständen helfen.
- + Beibehaltung von Google-Markenelementen Das "Wasserzeichen" von Google, das Sie in jeder Datei finden, ist wichtig zur Information über dieses Projekt und hilft den Anwendern weiteres Material über Google Buchsuche zu finden. Bitte entfernen Sie das Wasserzeichen nicht.
- + Bewegen Sie sich innerhalb der Legalität Unabhängig von Ihrem Verwendungszweck müssen Sie sich Ihrer Verantwortung bewusst sein, sicherzustellen, dass Ihre Nutzung legal ist. Gehen Sie nicht davon aus, dass ein Buch, das nach unserem Dafürhalten für Nutzer in den USA öffentlich zugänglich ist, auch für Nutzer in anderen Ländern öffentlich zugänglich ist. Ob ein Buch noch dem Urheberrecht unterliegt, ist von Land zu Land verschieden. Wir können keine Beratung leisten, ob eine bestimmte Nutzung eines bestimmten Buches gesetzlich zulässig ist. Gehen Sie nicht davon aus, dass das Erscheinen eines Buchs in Google Buchsuche bedeutet, dass es in jeder Form und überall auf der Welt verwendet werden kann. Eine Urheberrechtsverletzung kann schwerwiegende Folgen haben.

#### Über Google Buchsuche

Das Ziel von Google besteht darin, die weltweiten Informationen zu organisieren und allgemein nutzbar und zugänglich zu machen. Google Buchsuche hilft Lesern dabei, die Bücher dieser Welt zu entdecken, und unterstützt Autoren und Verleger dabei, neue Zielgruppen zu erreichen. Den gesamten Buchtext können Sie im Internet unter http://books.google.com/durchsuchen.

# Jber den Energieverbrauch m Dielektrikum bei hohen Wechselspannungen.

Inaugural-Dissertation

zur

Erlangung der Doktorwürde

der

Hohen philosophischen Fakultät

der

Rheinischen Friedrich-Wilhelms-Universität zu Bonn.

Vorgelegt am 14 JULI 1906

von

Dipl.-Ing. Paul Humann

aus Bochum.

Druck von R. Oldenbourg in München 1906.



# Über den Energieverbrauch im Dielektrikum bei hohen Wechselspannungen.

Inaugural-Dissertation

zui

Erlangung der Doktorwürde

der

Hohen philosophischen Fakultät

de

Rheinischen Friedrich-Wilhelms-Universität zu Bonn.

Vorgelegt am 14 JULI 1906

von

Dipl.-Ing. Paul Humann

Druck von R. Oldenbourg in München 1906.

Gedruckt mit Genehmigung der philosophischen Fakultät der Universität Bonn.

Referent: Herr Prof. Dr. Kayser.

# Über den Energieverbrauch im Dielektrikum bei hohen Wechselspannungen.

Es ist schon mehrfach die Beobachtung gemacht worden, daß ein Kondensator, bestehend aus zwei Belegungen, die durch ein Dielektrikum getrennt sind, warm wird, wenn derselbe hohen Wechselspannungen ausgesetzt Werden die beiden Belegungen dagegen an eine Gleichstromquelle angelegt, so tritt diese Erscheinung nicht auf. Es tritt bei Wechselstrom im Kondensator ein Umsetzen der zugeführten elektrischen Energie in Wärme auf, für welches die einzelnen Beobachter verschiedene Gründe angegeben haben. Arno und Heß glauben diesen Energieverbrauch im Kondensator auf kleine leitende Teilchen im Dielektrikum zurückführen zu müssen, Steinmetz und v. Hoor schreiben denselben dem Vorhandensein von Luftbläschen im Isoliermaterial zu und Apt und Mauritius gehen sogar so weit, den Energieverbrauch im Dielektrikum einzig dem Isolations-Benischke und Steinwiderstand zur Last zu legen. metz halten es für möglich, daß die Verluste (als solche müssen wir den Energieverbrauch im Dielektrikum ansprechen) teilweise von den mechanischen Erschütterungen, die sich zuweilen durch Tönen bemerkbar machen, herrühren. Maxwell und v. Hoor nehmen auch eine chemische Polarisation an. Die meisten Beobachter aber neigen zu der Ansicht, daß es sich um eine dielektrische Hysteresis, ähnlich der magnetischen, handelt, unter anderen Steinmetz, Arno, Schauffelberger, Skinner, Heinke, Eisler, Beaulard, Rosa und Smith und

Humann, Dissertation.

vor allen v. Hoor. Am Schlusse der Arbeit sind die Literaturquellen kurz zusammengestellt.

Von welchen Größen der Energieverlust abhängt, ist ebenfalls noch nicht ganz aufgeklärt. Während Apt und Mauritius, Heinke, Eisler, Janet u. a. den Energieverbrauch dem Quadrate der Spannung proportional finden, d. h.

 $W = \text{Konstante} \times E^2$ 

wobei W = Energieverbrauch in Watt und E = effektive Spannung in Volt bedeutet, findet Schauffelberger dieses Gesetz nur für vollkommene Kondensatoren bestätigt. Arno findet die Beziehung:

 $W = \text{Konstante} \times E^{z,6}$ 

und Threllfall:

 $W = \text{Konstante} \times E^m$ ,

wobei für homogene Dielektrika:

m = 1,5 bis 1,96

und für unhomogene:

m=2 ist.

Weiterhin finden einige Experimentatoren, daß bei Annäherung der Spannung an den Wert, bei dem das Dielektrikum durchbrochen wird, der Verlust stärker zunimmt als mit dem Quadrate der Spannung.

Einige Beobachter, unter anderen Eisler, sprechen aus, daß der Verlust im Dielektrikum bei gleichem Material proportional der Kapazität des Kondensators ist.

Von wesentlicher Bedeutung ist die Abhängigkeit des Energieverbrauches von der Periodenzahl des Wechselstromes. Auch hier gehen die Ansichten auseinander. So findet Beaulard, daß der Verlust pro Zyklus bei längerer Periodendauer kleiner und für eine Periodendauer von 15 Minuten = 0 wird. Eine Abhängigkeit von der Periodenzahl stellen Eisler, Nothrup, Mercanton und Skinner fest, während Steinmetz sowie Rosa und Smith Proportionalität zwischen Verlust und Periodenzahl erkennen.

Dann wird auch die Temperatur des Dielektrikums einen großen Einfluß auf den Energieverbrauch ausüben. Rosa und Smith haben hierüber einige Versuche gemacht, die aber sehr unvollständig sind. Hieraus geht hervor, daß für die Vorausbestimmung der Verluste in den Kondensatoren recht dürftige Unterlagen vorhanden sind, und deshalb hat es der Verfasser unternommen, mit den reichen Hilfsmitteln, die ihm im Laboratorium der Firma Felten & Guilleaume Lahmeyerwerke Akt.-Ges., Carlswerk zu Mühlheim a. Rh., zur Verfügung standen, an praktisch in großen Mengen verwendeten Kondensatoren, nämlich an elektrischen Kabeln, möglichst umfangreiche Versuche durchzuführen.

Durch viele ausgeführte Messungen an gleichartigen Dielektricis bin ich zu der Überzeugung gekommen, daß der Verlust sich nach folgender Beziehung berechnen läßt:

#### $W = \text{Konst.} \cdot E^2 \cdot \nu \cdot C$ .

Hier bedeutet:

W = den Energieverbrauch in Watt.

E = effektive Spannung in Volt.

v = Periodenzahl des Wechselstromes pro Sekunde.

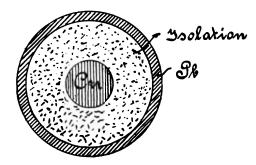
C = Kapazität des Kondensators in Farad.

Durch die nachfolgenden Versuchsergebnisse soll die obige Beziehung bewiesen werden. Weiterhin soll dann die Abhängigkeit des Energieverbrauchs im Dielektrikum von der Temperatur beobachtet werden.

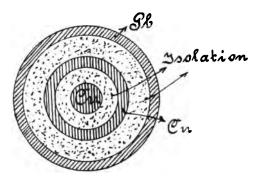
Die in der Einleitung erwähnten Arbeiten haben in einem vor kurzem erschienenen Buche<sup>1</sup>) eine kritische Bearbeitung erfahren, bei der die Frage untersucht ist, inwieweit die dielektrischen Verluste zur Erwärmung der Kabel beitragen können.

Wie schon erwähnt wurde, sind meine Messungen an elektrischen Kabeln vorgenommen worden. Dieselben können als sehr vollkommene Kondensatoren betrachtet werden.

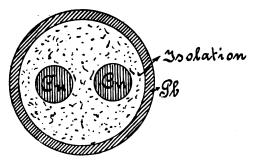
<sup>1)</sup> Prof. Dr. Teichmüller, Die Erwärmung der elektrischen Leitungen. Stuttgart 1905, S. 132 bis 153.



Einleiterkabel.

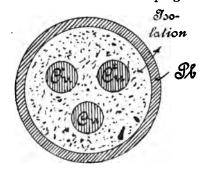


Konzentrisches Zweileiterkabel.

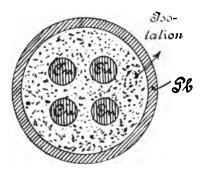


Verseiltes Zweileiterkabel.

Wesentlich besteht ein solches Kabel aus einem oder mehreren Kupferleitern, die mit einem Isoliermaterial, meist imprägnierter Papier- oder Faserisolation, umgeben und dann in einen gemeinsamen, natlosen Bleimantel eingeschlossen sind. Die Imprägniermasse besteht aus einer



Verseiltes Dreileiterkabel.



Verseiltes Vierleiterkabel.

Mischung von Harzen, Olen und Fetten von der verschiedensten Zusammensetzung.

In den nebenstehenden Figuren sind die Querschnitte einiger Kabelarten veranschaulicht. Bei den sog. Mehrleiterkabeln können die Leiterkonzentrisch oder verseilt angeordnet sein, man spricht dann von konzentrischen Zwei-u. Dreileiterkabeln od. von verseilten Zwei-, Dreiund Vierleiterkabeln.

Bei der Herstellung der Kabel werden die Kupferleiter zuerst mit der Isolation, Papier oder Faserstoff, umgeben und im Vakuum bei hoher Temperatur getrocknet. Hierdurch wird Luft und Feuch-

tigkeit nach Möglichkeit, d.h. soweit der praktische Prozeß es erreichen läßt, entfernt. Jetzt erst wird die Isolation getränkt und dann das ganze Kabel mit dem dichten Bleimantel umgeben. In den Bleikabeln haben wir demnach einen sehr vollkommenen Kondensator, bei welchem Verluste durch leitende Teilchen und Luftblasen ausgeschlossen erscheinen.

Es ist zuerst nötig, eine einwandfreie Meßmethode zur Bestimmung des Energieverbrauches im Dielektrikum festzustellen. Wenn ein Kondensator mit Wechselstrom beansprucht wird, so tritt eine der Kapazität des Kondensators entsprechende Stromstärke auf. Für sinusförmigen Wechselstrom gilt die Beziehung:

$$J_c = E_c \cdot w \cdot C \cdot 10^{-6}$$
.

Es bedeutet hier:

 $J_c \dots$  Ladestrom in Ampere.

 $E_c$ ... Spannung am Kondensator in Volt.

 $J_c$  und  $E_c$  sind Effektivwerte.

 $w = 2 \pi \nu \dots$  Wechselgeschwindigkeit bei der Periodenzahl  $\nu$ .

C... Kapazität in Mikrofarad.

Spannung und Stromstärke haben gegeneinander eine Phasenverschiebung von nahezu 90°, d. h. in dem Augenblick, in dem die Spannung ihren höchsten Augenblickswert erreicht hat, ist die Stromstärke gleich Null.

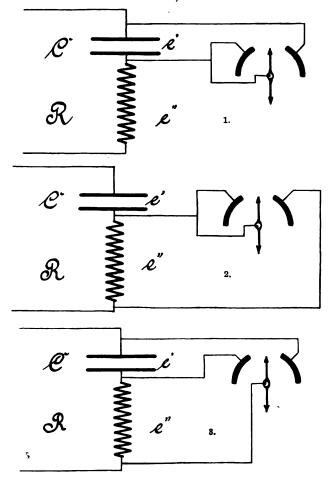
Abgesehen von Arno und Schauffelberger, welche die Messungen im elektrischen Drehfelde bzw. Wechselfelde vorgenommen haben, sind folgende Methoden angewandt worden:

Eisler hat mit dem Elektrometer gemessen. Er schaltet dem zu messenden Kondensator einen induktionsfreien Widerstand vor und schickt durch diese Kombination einen Wechselstrom von bestimmter Spannung und Periodenzahl. Es werden dann drei Elektrometermessungen ausgeführt, bei denen die Ausschläge des Elektrometers entsprechend den nebenstehenden Figuren mit  $\alpha_1$ ,  $\alpha_2$  und  $\alpha_3$  bezeichnet werden. Aus  $\alpha_1$  findet man die Spannung am Kondensator C, aus  $\alpha_2$  die Stromstärke und aus der Beziehung

$$W = \frac{\alpha_1 - \alpha_8}{k \cdot R}$$

den Energieverlust im Kondensator C. Es bedeutet hier k die Elektrometerkonstante und R den Ohmschen Widerstand des Vorschaltewiderstandes.

An und für sich scheint ja diese Methode der Messung des Energieverlustes im Dielektrikum keine besonderen Schwierigkeiten zu bieten. Es ist aber zu bedenken, daß die meisten Maschinen zur Erzeugung von Wechselstrom Kurvenformen besitzen, die sehr stark von der



Sinusform abweichen, besonders wenn die Maschinen mit Kondensatoren belastet sind; die einfachen Gesetze für Wechselstrom gelten aber nur für Sinusstrom. Weiterhin muß der Widerstand R vollkommen induktions- und kapazitätsfrei sein, und dieser Forderung ist nur schwer zu genügen. Als weiterer Nachteil kommt hinzu, daß die drei Elektrometermessungen zeitlich nacheinander ausgeführt werden müssen und daß bei Ausdehnung der Untersuchungen über weite Spannungsbereiche mehrere Elektrometer für verschiedene Empfindlichkeiten notwendig sein würden.

Diese Gründe lassen die Anwendung des Elektrometers zur Messung der Energieverluste im Dielektrikum nicht zweckmäßig erscheinen.

Apt und Mauritius haben den Energieverbrauch eines Kondensators aus der Differenz des Energieverbrauches eines leerlaufenden und eines mit dem Kondensator belasteten Transformators bestimmt. Der Effektverbrauch wird auf der Niederspannungsseite des Transformators gemessen. Abgesehen davon, daß die Messung des Effektverlustes im Dielektrikum hier nicht mit sinusförmigem Wechselstrom vorgenommen wird, ist auch eine Verschiedenheit der Kurvenform bei leerlaufendem und bei dem mit dem Kondensator belasteten Transformator und damit eine Verschiedenheit der jedesmaligen Verluste im Eisen des Transformators zu erwarten. Diese Gründe bewogen uns, auch diese Methode zu verwerfen.

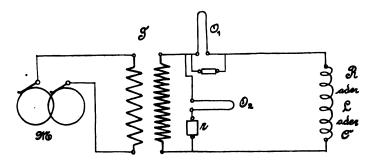
Andere Beobachter, so Benischke, haben Thermoelemente in das Dielektrikum eingebaut und damit die Temperaturerhöhung gemessen. Rosa und Smith haben bei einer Untersuchung den Kondensator in ein Kalorimeter eingebracht und den Energieverbrauch desselben aus dem Vergleich mit dem Energieverbrauch eines in gleicher Weise eingebrachten Drahtwiderstandes bestimmt. Diese Methoden sind aber für Kabel von größerer Länge, welche auf große Holztrommeln aufgewickelt sind, nicht anwendbar.

Geeigneter scheint hier die Messung des Energieverbrauchs mit dem Wattmeter zu sein. Dasselbe wurde auch von Steinmetz und Rosa und Smith angewandt. Um bei dieser Messung mit sinusförmigen Wechselströmen zu arbeiten, wird dem Kondensator eine Selbstinduktions-

spule vorgeschaltet und diese so bemessen, daß daziehung besteht:

$$wL = \frac{10^6}{wC}$$

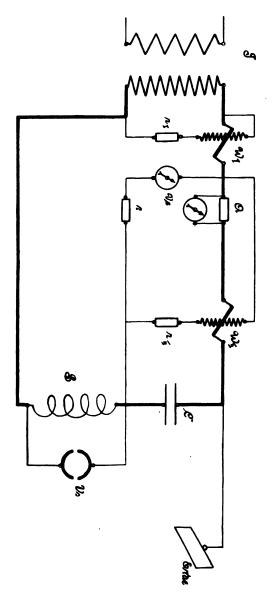
wobei w wieder die Wechselgeschwindigkeit, L die Selbstinduktion in Henry und C die Kapazität in Mikrofarad bedeutet. Es besteht dann zwischen der Kapazität C und der Selbstinduktion L für die der Wechselgeschwindigkeit w entsprechende Periodenzahl v Resonanz. Bei Resonanz wirkt die Selbstinduktion dämpfend auf die schnellen Schwingungen, während die Kapazität die langsamen Schwingungen abdrosselt.



Es wurde oben schon erwähnt, daß die meisten Wechselstrommaschinen Stromkurven besitzen, die stark von der Sinusform abweichen, d. h. dieselben besitzen außer der Grundwelle stark ausgeprägte Oberschwingungen. Mit dem Oszillographen wurden nach beifolgendem Schema eine Reihe von Strom- und Spannungskurven aufgenommen und dabei das Vorhandensein von höheren Harmonischen beobachtet.

In der umstehenden Skizze bedeutet  $O_1$  den Oszillographen für die Stromkurve und  $O_2$  den für die Spannungskurve. Wenn jetzt statt des Widerstandes R, der Selbstinduktion L oder der Kapazität C die Hintereinanderschaltung von Selbstinduktion und Kapazität eingeschaltet wurde, und zwar, wenn die beiden Größen sich





annähernd im Resonanzverhältnis befanden, so wurden die Kurvenformen sinusförmig. Heinke hat wohl zuerst auf die Benutzung der Resonannz für diese Messungen aufmerksam gemacht.

Bei meinen Messungen habe ich als Induktionsspule zuerst die unterteilbare Wicklung eines Hochspannungstransformators mit Eisenkern benutzt. Die Messung wurde nach beistehender Skizze vorgenommen. Das Spiegelwattmeter  $W_{II}$  besteht aus einer feststehenden Stromspule mit wenigen Windungen Kupferdraht und einer senkrecht dazu an einem Metalldraht beweglich aufgehängten Spannungsspule aus vielen Windungen Nickelindraht. In der Spannungsspule ist ein Draht von hohem spezifischem Widerstand verwendet worden, damit die geringe Selbstinduktion der Spule gegenüber ihrem verhältnismäßig großen Ohmschen Widerstand zu vernachlässigen sei.

Um Erschütterungen des Instrumentes zu vermeiden, wurde dasselbe auf eine schwere Platte aufgestellt, die mit langen Eisendrähten an der Decke aufgehängt war. Schwingungen der Platte waren durch Öldämpfung aufgehoben.

Als Vorschaltwiderstand  $r_{II}$  zur Spannungsspule diente ein induktionsfreier Lamettawiderstand, der für den Gebrauch von hohen Spannungen mit Kabelmasse ausgegossen war. Dieser hat einen Gesamtwiderstand von 295 000 Ohm und besitzt zwecks Abstufung neun Anschlußpunkte.

Bei den Messungen wurde als geringster Vorschaltwiderstand zur Spannungsspule die Abteilung o bis 6, d. h. 98 900 Ohm benutzt. Gegenüber diesem großen Ohmschen Widerstand dürfte die Selbstinduktion der Spannungsspule zu vernachlässigen sein und eine Wattmeterkorrektion unnötig erscheinen.

Zur Spannungsmessung wurde ein Westonvoltmeter  $V_c$  mit induktionsfreiem Vorschaltwiderstand r benutzt. Nennt man den Eigenwiderstand des Voltmeters  $r_v$  und den Vorschaltwiderstand r, und es werden am Instru-

ment e Volt abgelesen, so berechnet sich die Gesamtspannung E aus der Beziehung:

$$E=\frac{e\left(r_{v}+r\right)}{r_{v}}.$$

Es standen einige Westonvoltmeter mit den Meßbereichen 75, 100, 150, 200, 300 und 600 Volt zur Verfügung. Als Vorschaltwiderstände waren sechs Widerstandskästen von je ungefähr 30000 Ohm vorhanden, die besonders für Hochspannungsmessungen gebaut waren.

Als Amperemeter A wurde ebenfalls ein Westonvoltmeter bis 10 Volt in Verbindung mit verschiedenen induktionsfreien Nebenschlüssen benutzt. Es wurden damit fünf Empfindlichkeiten, nämlich bis 0,1, 0,2, 0,5, 1,0 und 2,0 Ampere hergestellt.

Um die Instrumente gegen statische Einflüsse zu sichern, sind dieselben mit einem Metallgehäuse umgeben, welches jedesmal mit einem Pol derselben metallisch verbunden ist. Es hatte sich nämlich gezeigt, daß das als Amperemeter verwendete Westonvoltmeter bis 10 Volt bei sehr geringen Strömen, und wenn das Instrument eine beträchtliche Spannungsdifferenz gegen Erde besaß, einen negativen Ausschlag ergab. Dieser negative Ausschlag verschwand, wenn das Instrument mit dem erwähnten Schutzkasten umgeben war.

Zu beachten ist noch, daß die Westonvoltmeter bei den Messungen möglichst weit von allen Eisen- und Metallteilen entfernt gehalten wurden, um Einflüsse von außen zu vermeiden. Die Eichung des als Amperemeter benutzten Westonvoltmeters wurde mit Gleichstrom vorgenommen. Zur Kontrolle wurde aber noch mit Wechselstrom verglichen, indem als Vergleichsinstrument ein Präzisionswiderstand mit einem statischen Voltmeter nach Lord Kelvin benutzt wurde.

Als induktionsfreier Belastungswiderstand bei der Eichung des Wattmeters dienten hintereinander geschaltete Glühlampen, da die Selbstinduktion der elektrischen Glühlampen sehr klein ist. Man hat dann einfach Stromstärke und Spannung zu multiplizieren, um den Energieverbrauch zu erhalten. Es ergibt sich also:

#### $E \cdot J = \text{Konst. } \alpha$

wenn α die Ablenkung am Wattmeter bedeutet.

Wenn hintereinander geschaltete Glühlampen mit hohen Wechselspannungen betrieben werden, wird man häufig die Beobachtung machen, daß einzelne Glühfäden in heftige Bewegung geraten und dann bald brechen, Diese Erscheinung muß auf eine Kapazitätswirkung zwischen den Fäden und den umgebenden Wänden zurückgeführt werden. Dieselbe verschwindet, wenn man um die Glasbirne einen Streifen Stanniol legt und diesen mit einem Pol der Lampe verbindet.

Um von der Exaktheit der senkrechten Stellung der Ebenen der beiden Spulen des Wattmeters aufeinander unabhängig zu sein, wurden die Ausschläge nach beiden Seiten gemessen, indem in den Stromkreis der Spannungsspule ein Umschalter eingebaut wurde.

Das Wattmeter  $W_1$  war ein Präzisionswattmeter von Siemens & Halske und sollte lediglich als Kontrollinstrument dienen. Die Spannung an der Selbstinduktionsspule S wurde mit dem statischen Voltmeter  $V_s$  gemessen.

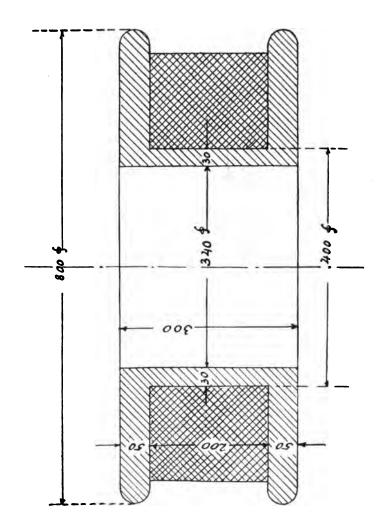
Die vorgenommenen Messungen nach dieser Methode haben ergeben, daß der Nebenschlußwiderstand zum Kondensator  $\mathcal{C}$  einen wesentlichen Einfluß auf das Resultat ausübt. Dieser Nebenschlußwiderstand besteht aus der Spannungsspule des Spiegelwattmeters nebst Vorschaltwiderstand dazu und aus dem Voltmeter mit Vorschaltwiderstand. Es zeigte sich, daß mit kleiner werdendem Nebenschlußwiderstand die gemessenen Verluste im Kondensator kleiner wurden.

Da, wie schon bemerkt, zwischen Stromstärke und Spannung am Kondensator nahezu eine Phasenverschiebung von  $90^{\circ}$  besteht, so sind geringe Spuren von Kapazität oder Selbstinduktion in dem Vorschaltewiderstand des Wattmeters geeignet, ein falsches Resultat zu zeitigen. Um diese Phasenverschiebung etwas geringer zu machen und damit die Wattmetermessung zuverlässiger zu gestalten, wurden zwischen das Wattmeter  $W_{II}$  und den Kondensator kleine eisenlose Induktionsspulen eingeschaltet, deren Energieverbrauch berechnet werden konnte. Aber auch hierdurch war die Erscheinung nicht behoben.

Wie vorher gesagt wurde, haben die Nebenschlußwiderstände zum Kondensator bei der angegebenen Meßmethode einen großen Einfluß auf das Resultat. konnte dieser Fehler leider nicht aufgeklärt und beseitigt Auch die Kapazitätswirkungen zwischen Stromund Spannungsspule können einen Fehler hervorrufen. Diesen Umstand theoretisch zu verfolgen, lohnt sich nicht, da das Experiment mit hinreichender Deutlichkeit gezeigt hat, daß das Wattmeter in dieser einfachen Schaltung nicht verwendbar ist. Wir wollen deshalb auch in der Weise fortschreiten, daß wir auf experimentellem Wege eine Verbesserung der Methode zu erreichen suchen. Es sollen die Verluste von Kondensator und Induktionsspule, in Reihe geschaltet, zusammen gemessen werden, wobei als Induktionsspule eine solche ganz ohne Eisen verwendet wird, deren Energieverbrauch aus dem Ohmschen Widerstand gerechnet werden kann. Bei dieser Reihenschaltung ist nach Möglichkeit das Resonanzverhältnis zwischen Kondensator und Induktionsspule zu erstreben, damit im Wattmeter zwischen den Strömen in der Strom- und Spannungsspule nur eine geringe Phasenverschiebung herrscht.

Zu diesem Zwecke wurden zwei Spulen aus ganz trockenem Holze nach der nebenstehenden Skizze angefertigt und mit Kupferdraht bewickelt. Für die eine Induktionsspule wurde Cu-Draht von 1,3 mm Durchmesser oder 1,33 qmm Querschnitt verwendet. Die ganze fortlaufende Wicklung ist in zwölf Abteilungen geteilt, für welche folgende Werte gemessen wurden:

Abteilung	Windungs- zahl	Wider- stand
o bis I	686	12,2 Ohm
0 > II	1363	25,0 >
o » III	1952	37,7
o » IV	2462	50,4 >
o > V	2949	63,7 >
o » VI	3414	77,1 >
o > VII	3844	90,5 >
o > VIII	4414	104,9
o » IX	4964	119,2 >
$o \rightarrow X$	5549	134,0 >
o > XI	6115	148,8
o > XII	6583	161,2



Die zweite Spule ist mit Cu-Draht von 1,1 mm Durchmesser oder 0,96 qmm Querschnitt bewickelt. Die Wicklung besteht hier aus sieben Abschnitten mit folgenden Werten:

Abteilung	Widungs- zahl	Wider- stand
o bis 1	1723	37,1 Ohm
0 > 2	3513	83,8
0 > 3	5673	146,0 >
0 > 4	7509	203,7
0 > 5	9355	265,6
0 > 6	11369	340,4 >
0 > 7	13385	418,2

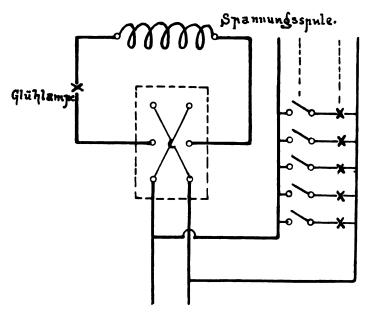
Die Kupferdrähte sind mit Baumwolle bewickelt und schellackiert. Die einzelnen Lagen der Spulen sind gegeneinander durch eine doppelte Schicht von imprägniertem Papier isoliert. Bei den geringen Durchmessern der Cu-Drähte sind keine merklichen Wirbelstromverluste zu befürchten.

Wenn die Verluste im Kondensator und in der Induktionsspule gemeinsam gemessen werden, stets Resonanz vorausgesetzt, muß das Wattmeter unempfindlicher gemacht werden, da die Ausschläge selbst bei einem Vorschaltwiderstand von 295 000 Ohm vor der Spannungsspule bei höheren Spannungen über die Skala hinausgehen. Dieses geschieht durch Parallelschaltung eines veränderlichen Widerstandes zur Spannungsspule. Es zeigte sich aber bald, daß bei gleicher Stromstärke und Spannung am Kondensator die Ergebnisse bei verschiedenen Nebenschlußwiderständen zur Spannungsspule des Wattmeters verschieden waren.

Die geringe Selbstinduktion der Spannungsspule des Wattmeters ist also nicht, wie zuerst angenommen wurde, vernachlässigbar. Die Phasenverschiebung zwischen den Strömen in der Spannungsspule und im Nebenschlußwiderstand zu derselben muß möglichst aufgehoben werden.

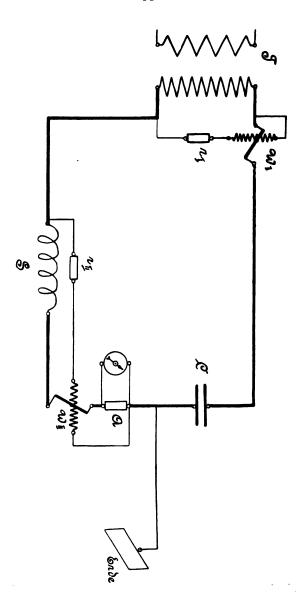
Zu diesem Zwecke wollen wir der Spannungsspule eine elektrische Glühlampe vorschalten und den Nebenschluß, ebenfalls aus Glühlampen bestehend, der Reihenschaltung von Spannungsspule und Glühlampe parallel schalten, wie aus nachstehendem Schema ersichtlich ist.

Zahlreiche Messungen haben ergeben, daß nunmehr die Selbstinduktion der Spannungsspule tatsächlich vernachlässigbar wird. Bei der Auswahl der Glühlampen wurde darauf geachtet, daß zur Vorschaltung eine Lampe mit etwas geringerem Widerstand genommen wurde, so

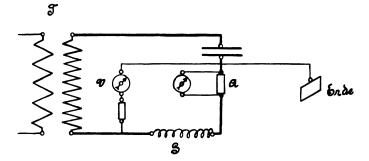


daß der Gesamtwiderstand von Spannungsspule und vorgeschalteter Lampe gleich dem Widerstand der einzelnen parallel geschalteten Lampen war. Es braucht dann die Eichung des Wattmeters nur für die Nebenschaltung  $= \infty$ , d. h. ohne parallel geschaltete Lampen ausgeführt zu werden. Schaltet man eine Anzahl Lampen, z. B. n, parallel, so ist die Wattmeterkonstante mit (n+1) zu multiplizieren.

Eine Anzahl von Messungen hatten ergeben, daß in der Induktionsspule noch ein anderer Verlust als der durch Ohmschen Widerstand verursachte vorhanden sein muß.



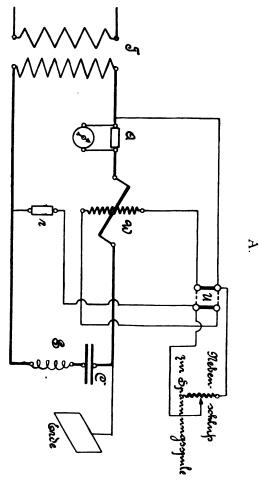
Da eine Bestimmung des Ohmschen Widerstandes mit sehr hoher Periodenzahl  $\nu=200$  kaum eine Zunahme des Widerstandes durch Wirbelströme im Kupfer ergeben hatte, so bleibt als Erklärung für den zusätzlichen Verlust in der Spule nur die Annahme dielektrischer Verluste im Isoliermaterial übrig. Widerstandszunahme durch Erwärmung war auch nicht zu bemerken. Es muß deshalb versucht werden, die Verluste in der Spule direkt zu messen. Bei der direkten Messung der Kondensatorverluste mittels des Wattmeters bestand zwischen den Strömen in der Strom- und Spannungsspule eine Phasenverschiebung



von ungefähr 90°. Wir haben dabei beobachtet, daß der Ausschlag des Wattmeters sehr stark durch den Nebenschlußwiderstand zum Kondensator beeinflußt wurde. Es soll deshalb untersucht werden, ob bei der Messung des reinen Verlustes in der Induktionsspule nach nebenstehender Schaltung (S. 18) dieselbe Beobachtung gemacht wird. Auch hier besteht zwischen den Strömen in der Strom- und Spannungsspule eine Phasenverschiebung von nahezu 90°, aber im entgegengesetzten Sinne wie beim Kondensator.

Die jeweils an der Spannungsspule herrschende Spannung wird nach der obenstehenden Schaltung gemessen. Aus mehreren Ablesungen am Volt- und Amperemeter kann man eine Konstante rechnen, nämlich die Impedanz, mit welcher bei der ersten Messung die Stromstärken multipliziert werden müssen, um die Spannungen zu erhalten.

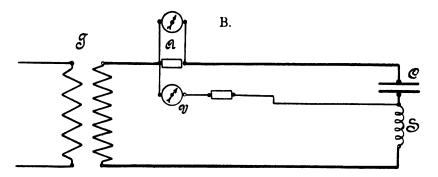
Messungen mit verschiedenen Nebenschlußwiderständen zur Induktionsspule haben ergeben, daß hier der



Nebenschlußwiderstand keinen Einfluß auf das Resultat ausübt. Wir können demnach die Messung des Energieverbrauchs von Kondensator und Induktionsspule in Resonanzschaltung ausführen und die mit dem Wattmeter in der letzteren direkt gemessenen Verluste, natürlich für die entsprechenden Stromstärken, abziehen, ohne einen merklichen Fehler zu begehen.

Der Vorgang der Messung ist nun folgender:

Zuerst wird der Energieverbrauch im Amperemeter A, in der Stromspule des Wattmeters W, im Kondensator C und in der Induktionsspule S nach nebenstehender Schaltung A gemessen. Die Spannung am Kondensator wird durch Multiplikation der Stromstärke mit einer Konstanten (Konst.) berechnet, die wiederum aus einer getrennten Messung nach Schaltung B erhalten wird.



Dann wird nach Schaltung Seite 18 der Energieverbrauch in dem Amperemeter A, in der Stromspule des Wattmeters W und in der Induktionsspule S bestimmt und von dem Gesamtenergieverbrauch abgezogen. Die Spannung an der Induktionsspule wird nach Schaltung Seite 19 besonders bestimmt.

Die zur Untersuchung kommenden Kabel sollen zuerst kurz besprochen und deren Isolations- und Kapazitätswerte, mit Gleichstrom von 120 Volt gemessen, angegeben werden.

Die Messung des Isolierwiderstandes geschah nach der Methode des direkten Ausschlages im Vergleich mit einem Drahtwiderstand von 1 000 000 Ohm und nach einer Dauer der Elektrisierung von 1 Minute, wie üblich. Die Bestimmung der Kapazität wurde ballistisch durch

Vergleich mit Normalkondensatoren von 0,1; 0,2; 0,5 und 1,0 Mikrofarad vorgenommen.

Der Einfachheit halber sollen die einzelnen Kabel mit Buchstaben bezeichnet werden.

 M Verseiltes Dreileiterkabel. Vorhanden sind drei Längen zu je 300 m. 3 × 25 qmm Querschnitt. Isolationsdicke Leiter gegen Leiter sowie Leiter gegen Bleimantel 7,2 mm.

> Isolationswiderstand: Kapazität:

4200 Meg. 0,086 Mi.

Gemessen wurden stets alle Leiter zusammen gegen den Bleimantel.

 T Konzentrisches Zweileiterkabel von 2 × 300 qmm Querschnitt und 200 m Länge. Die Isolationsdicke beträgt zwischen Außen- und Innenleiter sowie zwischen Außenleiter und Blei 2,83 mm.

Wir wollen bezeichnen:

2a.  $T_I$  Innen-gegen Außenleiter. Isolationswiderstand = 710 Meg. Kapazität: 0,134 Mi.

2b. T<sub>II</sub> Außenleiter gegen Blei. Isolationswiderstand: 1250 Meg. Kapazität: 0,213 Mi.

3. S Einfachkabel von 50 qmm Querschnitt bei 95 m Länge. Isolationsdicke 2 mm.
Isolationswiderstand: 7 Meg.
Kapazität: 0,524 Mi.

(Die Kapazitätsmessung durch ballistischen Ausschlag ist bei Kabeln mit geringem Isolationswiderstand sehr unzuverlässig.)

4. Rh Verseiltes Vierleiterkabel von 150 m Länge und 4 × 25 qmm Querschnitt. Isolationsdicke Leiter gegen Leiter und Leiter gegen Blei 10 mm. Gemessen wurden stets alle Leiter zusammen gegen den Bleimantel. Isolationswiderstand: 5500 Meg.

Kapazität: 0,0607 Mi.

- R<sub>I</sub> Einfachkabel von 270 qmm Querschnitt und 284 m Länge. Isolationsdicke zwischen Kupferseele und Bleimantel 5 mm. Isolationswiderstand; 169 Meg. Kapazität: 0,164 Mi.
- R<sub>II</sub> Einfachkabel von 270 qmm Querschnitt und 308 m Länge. Isolationsdicke zwischen Kupferseele und Bleimantel 2 mm. Isolationswiderstand: 44 Meg. Kapazität: 0,358 Mi.

Es sollen an den vorhandenen Kabeln, die sich im Freien befinden und teils auf Trommeln aufgewickelt, teils auf dem Erdboden ausgelegt sind, Verlustmessungen nach der erläuterten Methode vorgenommen werden. Bei der Angabe der Messungen in Tabellen wollen wir zwei Kolumnen für  $\cos \varphi$  und  $\mathfrak C$  einfügen.  $\cos \varphi$  ist erhalten durch Division des reinen Kondensatorverlustes  $W_K$  durch das Produkt aus Stromstärke und Spannung am Kabel  $J_c \cdot E_c$ .

Der Wert & ist aus folgender Beziehung berechnet

$$\mathfrak{C} = \frac{W_K \cdot 10^6}{E_c^2 \nu C}.$$

Über die Beziehung dieser Größen zueinander ist anfangs schon gesprochen worden. Die Temperatur der Kabel betrug bei den verschiedenen Versuchsreihen 15 bis 180 C.

Die Messungen wurden mit verschiedenen Periodenzahlen vorgenommen, welche mittels Frequenzmessers nach Hartmann-Kempf bestimmt wurden.

Aus der Messung nach Schema B S. 21 wird eine Konstante (Konst.) berechnet, mit welcher jedesmal die Stromstärke  $J_c$  multipliziert werden muß, um die Spannung  $E_c$  am Kondensator zu erhalten. Mit Hilfe dieser Konstanten läßt sich dann die Kapazität des Kabels berechnen nach der Beziehung:

$$C = \frac{10^6}{2 \pi \cdot \nu \text{ Konst. Mittel}} \text{ Mikrofarad.}$$

Wir wollen jetzt die Ergebnisse der Messungen mit verschiedenen Periodenzahlen bei konstanter Temperatur folgen lassen.

#### Periodenzahl $\nu = 39$ .

#### I. 2 $\times$ M.

$J_c$	$E_c$	Es	W	Ws	$W_K$	cos p	Œ
0,0684 0,1084 0,1484 0,1950 0,2450 0,2950	1750 2780 3800 5000 6270 7560	1930 3000 4125 5440 6830	5.74 13,80 26,10 44,50 68,20 99,00	2,73 7,09 13,50 22,95 35,00 50,80	3,01 6,71 12,60 21,55 33,20 48,20	0,0252 0,0222 0,0224 0,0221 0,0216 0,0216	0,159 0,140 0,141 0,139 0,136 0,136

#### Im Mittel:

$$\cos \varphi = 0.0225,$$
  $\mathfrak{C} = 0.142.$ 

$E_c$	$J_c$	Konst.
1755 2780	0,0684 0,1084	25 700 25 600
3780	0,1484	25 400
5030	0,1950	25 700

Konst. Mittel = 25 600,  

$$C = 0.159 \text{ Mi.}$$

# 2. $T = T_I + T_{II}$ .

$J_c$	$E_c$	Es	W	Ws	$W_K$	cos q	Œ
0,145	1790	1855	13,97	7,83	6,14	0,0236	0,148
0,245	3020	3100	38,70	22,95	15,75	0,0213	0,134
0,345	4250	4360	73,60	44,70	28,90	0,0198	0,124
0,442	5420	5570	120,00	71,90	48,10	0,0200	0,127
0,542	668 <b>o</b>	6770	179,00	105,20	73,80	0,0204	0,128
0,642	7920		253,00	147,70	105,30	0,0207	0,130

Im Mittel:

$$\cos \varphi = 0.021.$$
 © = 0.132.

$E_c$	$J_c$	Konst.
3035 4280	0,245	12 400
5410	0,345 0,442	12 400 12 250
6650	0,542	12 250

Konst. Mittel = 12325. C = 0.331 Mi.

3.  $T_I$ .

$J_c$	$E_c$	Es	W	Ws	$W_K$	cos q	Œ
0,0684 0,0884 0,1084 0,1284 0,1484 0,1684 0,1884	2200 2850 3490 4130 4780 5430 6070	1930 2500 3000 3560 4125	6,48 10,65 15,58 22,20 28,40 37,95 48,30	2,73 4,79 7,09 9,92 13,50 17,50 21,40	3,75 5,86 8,49 12,28 14,90 20,45 26,90	0,0249 0,0232 0,0224 0,0232 0,0210 0,0224 0,0235	0,156 0,145 0,140 0,145 0,132 0,140 0,147

Im Mittel:

$$\cos \varphi = 0.0229.$$
 § = 0.144.

$E_c$	$J_c$	Konst.
2210	0,0684	32 400
2850	0,0884	32 300
4120	0,1284	32 100
5380	0,1684	32 000

Konst. Mittel = 32 200. C = 0.127 Mi.

4. T<sub>II</sub>.

$J_c$	$E_c$	$E_S$	W	$W_S$	$W_{\Lambda^{\cdot}}$	cos q	Œ
0,1084	2170	2340	11,4	6,35	5,05	0,0215	0,134
0,1484	2970	3210	20,7	11.53	9,17	0,0208	0,130
0,195	3900	4220	36,0	19,84	16,16	0,0213	0,133
0,245	4900	5290	56,3	31,00	25,00	0,0208	0,131
0,295	5900	6370	80,7	44,60	36,10	0,0208	0,130
0,345	6900	7450	119,2	60,75	48,45	0,0203	0,128

#### Im Mittel:

$$\cos \varphi = 0.0209.$$
  $\emptyset = 0.131.$ 

$E_c$	$J_{c}$	Konst.
2165	0,1084	20 000
2960	0,1484	19 900
4920	0,2450	20 100
6910	0,3450	20 000

Konst.  $M_{\text{ittel}} = 20000$ . C = 0,204 Mi.

Um die Kabel M, Rh und S zu untersuchen, müssen mehrere derselben bei der Messung parallel geschaltet werden, da für ein Kabel die vorhandene Selbstinduktion für die niedrige Periodenzahl c=39 zur Bildung von Resonanz nicht ausreichend ist.

5. M und Rh.

$J_c$	E <sub>c</sub>	Es	w	W <sub>S</sub>	$W_K$	cos g	a
0,0684	2050	1930	6,01	2,73	3,28	0,0234	0,147
0,0884	2650	2500	10,05	4,79	5,26	0,0224	0,141
0,1084	3270	3000	15,10	7,09	8,01	0,0226	0,141
0,1284	3850	356o	21,20	9,92	11,28	0,0228	0,144
0,1484	4450	4125	28,40	13,50	14,90	0,0226	0,142
0,1700	5100	4750	37,40	17,80	19,60	0,0226	0,142
0,1950	5850	5440	48,90	22,95	25,95	0,0228	0,143
0,2200	6600	6140	62,50	28,90	33,60	0,0232	0,145
0,2450	7350	6830	75,90	35,00	40,90	0,0227	0,143

Im Mittel:

$$\cos \varphi = 0.0228.$$
 § = 0.143.

E <sub>c</sub>	$J_c$	Konst.
2060	0,0684	30 200
3260	0,1084	30 000
4380	0,1484	29 500
5900	0,1950	30 200

Konst. Mittel = 29 980. 
$$C = 0.136 \text{ Mi}.$$

#### 6. M, Rh und S, parallel geschaltet.

$J_{\epsilon}$	$E_c$	Es	W	<b>W</b> S	W <sub>K</sub>	cos q	Œ
0,0684 0,1084 0,1484 0,1950 0,2450	1530 2420 3320 4360 5480 6600	1480 2340 3210 4220 5290 6370	6,0 14,7 27,4 49,5 74,0 110,6	2,56 6,35 11,53 19,84 31,00 44,60	3,44 8,35 15,87 29,66 43,00 66,00	0,0329 0,0318 0,0322 0,0349 0,0320 0,0339	0,206 0,200 0,201 0,219 0,201 0,212

Im Mittel:

$$\cos \varphi = 0.033.$$
 © = 0.207.

$E_c$	$J_c$	Konst.
2420	0,1084	22 300
3300	0,1484	22 200
4380	0,1950	22 400
5500	0,2450	22 400

Konst. 
$$_{\text{Mittel}} = 22350.$$
  
 $C = 0.183 \text{ Mi.}$ 

7. R<sub>I.</sub>

$J_c$	Ec	Es	W	Ws	$W_K$	cos φ	Œ
0,0684	1920	1930	5,0	2.73	2,27	0,0173	0,1090
0,0884	2490	2500	8,5	4.79	3,71	0,0169	0,1050
0,1084	3050	3000	12,5	7,09	5,41	0,0164	0,1030
0,1284	3620	3560	17.7	9,92	7,78	0,0167	0,1050
0,1484	4180	4125	23,0	13,50	9.50	0,0153	0,0965
0,1700	4790	4750	31,7	17,80	13,90	0,0171	0,1080
0,1950	5490	5440	40,8	22,95	17,85	0,0167	0,1050
0,2200	6200	6140	53.3	28,90	24,40	0,0179	0,1120
0,2450	6900	6830	64,2	35,00	29,20	0,0173	0,1090

### Im Mittel:

$$\cos \varphi = 0.0168.$$
 § = 0.106.

$E_c$	$J_c$	Konst.
2490	0,0884	28 200
36 <b>20</b>	0,1284	28 200
4160	0,1484	28 000
5530	0,1950	28 300

Konst. 
$$_{\text{Mittel}} = 28 \text{ 180.}$$
  
 $C = 0,145 \text{ Mi.}$ 

8. R<sub>II</sub>,

$J_c$	$E_c$	Es	W	Ws	$W_K$	cos q	Œ
0,145	1820	1855	12,53	7,83	4,70	0,0178	0,1110
0,245	3080	3100	35,60	22,95	12,65	0,0168	0,1050
0,345	4330	4360	67,90	44,70	23,20	0,0155	0,0975
0,442	5550	5570	112,00	71,90	40,10	0,0163	0,1020
0,542	6810	6770	163,20	105,20	58,00	0,0157	0,0990

# Im Mittel:

$$\cos \varphi = 0.0164.$$
 § = 0.103.

$E_c$	$J_c$	Konst.
3080	0,245	12 570
4330	0,345	12 550
5530	0,442	12 500
6800	0,542	12 530

Konst.  $_{\text{Mittel}} = 12540.$ C = 0,326 Mi.

Es sollen jetzt aus den Versuchsreihen I, 5 und 6 die Energieverluste in den einzelnen Kabeln M, Rh und S berechnet werden.

Aus der Versuchsreihe I ergeben sich die Verluste für M für die Spannungen  $E_c$  durch Division der Werte  $W_K$  durch 2. Ferner berechnen wir für die in Versuch 5 angegebenen Spannungen  $E_c$  mit der aus I gefundenen Konstanten  $\mathfrak{C} = 0,142$  die Verluste von 2 M, dividieren dieselben durch 2 und ziehen die erhaltenen Werte von  $W_K$  aus Versuch 5 ab. Wir erhalten dann die Energieverluste in Rh allein.

$E_c$	$W_m + Rh$	$W_{2m}$	$W_m$	WRh
2050	3,28	3,70	1,85	1,43
2650	5,26	6,20	3,10	2,16
3270	10,8	9,40	4,70	3,31
3850	11,28	13,00	6,50	4,78
4450	14,90	17,46	8,73	6,17
5100	19,60	22,90	11,45	8,15
5850	25,95	30,10	15,05	10,90
66 <b>00</b>	33,60	38,40	19,02	14,40
7350	40,90	47,60	23,80	17,10

Zur Berechnung der Verluste in Kabel S bestimmen wir mittels der aus 5 gefundenen Konstanten  $\mathfrak{C} = 0,143$  für die Kabel M und Rh zusammen die Verluste in diesen für die Spannungen  $E_c$  der Versuchsreihe 6. Es ergibt sich:

$E_c$	$W_m + Rh + S$	$W_m + Rh$	<b>W</b> S
1530	3,44	1,77	1,67
2420	8,35	4,44	3,91
3320	15,87	8,35	7,52
4360	29,66	14,40	15,26
5480	43,00	22,70	20,30
6600	66,00	33,00	33,00

Wir wollen jetzt aus den Versuchsreihen 1,5 und 6 die charakteristischen Werte C,  $\cos \varphi$  und  $\mathfrak E$  für die Einzelkabel berechnen.

#### Kapazitäten:

a) 
$$C_{2m} = 0, 159.$$

Also:

$$C_m = 0.0795 \text{ Mi.}$$

b) 
$$C_{m+Rh} = 0.136$$
  
 $C_{m} = 0.795$   
 $C_{Rh} = 0.0565$  Mi.

c) 
$$C_{m+Rh+S} = 0.183$$
  
 $C_{m+Rh} = 0.136$   
 $C_{S} = 0.047 \text{ Mi.}$ 

Aus diesen Einzelkapazitäten können nunmehr die Werte von  $\cos \varphi$  und  $\mathfrak C$  für die einzelnen Kabel berechnet werden:

a) Selbstverständlich ist cos  $\varphi_{2m} = \cos \varphi_m = 0,0225$ . Ferner

$$C_{2m} = C_m = 0,142.$$

b) Es ist  $\cos \varphi_{m+Rh} = 0.0228$ .

Da sich der Wert  $\cos \varphi$  für (M+Rh) aus denjenigen  $\operatorname{von}(M)$  und (Rh) zusammensetzt, wobei die Einzelwerte nach der Größe der zugehörigen Kapazität in Rechnung kommen, so erhält man

$$C_m \cdot \cos \varphi_m + C_{Rh} \cdot \cos \varphi_{Rh} = C_{M+Rh} \cdot \cos \varphi_{M+Rh},$$

oder aus Obigem:

$$\cos \varphi_{Rk} = \frac{0.136 \cdot 0.0228 - 0.0795 \cdot 0.0225}{0.0565} = 0.0231$$

und entsprechend:

$$\mathfrak{C}_{Rh} = \frac{0.136 \cdot 0.143 - 0.0795 \cdot 0.142}{0.0565} = 0.144.$$

Weiterhin ist:

c) 
$$\cos \varphi_S = \frac{0.183 \cdot 0.033 - 0.136 \cdot 0.0228}{0.047} = 0.0646,$$
  

$$\mathfrak{C}_S = \frac{0.183 \cdot 0.207 - 0.136 \cdot 0.143}{0.047} = 0.392.$$

Es sollen jetzt die charakteristischen Zahlen für die einzelnen Kabel zusammengestellt werden:

Bezeichnung	C in Mi	cos $\varphi$	Œ
М	0,0795	0,0225	0,142
T	0,3310	0,0210	0,132
$T_I$	0,1270	0,0229	0,144
$T_{II}$	0,2040	0,0209	0,131
S	0,0470	0,0646	0,392
Rh	0,0565	0,0231	0,144
$R_I$	0,1450	0,0168	0,106
$R_{II}$	0,3260	0,0164	0,103

#### Periodenzahl $\nu = 52$ .

#### i. M.

=

$J_c$	$E_c$	Es	W	Ws	$W_K$	cos $\varphi$	Œ
0,0342	1360	1280	1,94	0,75	1,19	0,0256	0,16
0,0517	2060	1960	4,02	1,92	2,10	0,0197	0,124
0,0692	2760	2630	7,50	3,23	4,27	0,0224	0,130
0,0684	2730	-	7.46	3,16	4,30	0,0230	0,144
0,0884	3530	3330	11,65	5,11	6,54	0,0210	0,131
0,1084	4330	4070	17,67	7,09	10,58	0,0225	0,141
0,1284	5130	4800	24,80	10.73	14,07	0,0214	0,133
0,1484	5930	5540	33,10	13,78	19,32	0,0220	0,137
0,1684	6730		43,50	17,70	25,80	0,0228	0,142

$$\cos \varphi = 0.0223.$$
 § = 0.139.

E <sub>c</sub>	$J_c$	Konst.
1375	0,0342	40 250
2740 3530	0,0692 0,0884	39 600 40 000
5130	0,1284	39 9 <b>00</b>

Konst.  $_{\text{Mittel}} = 39940.$  C = 0.0772 Mi.

### 2. $2 \times M$ .

$J_c$	$E_c$	Es	W	W <sub>S</sub>	$W_K$	cos $\varphi$	Œ
0,0684 0,1084 0,1484 0,195 0,245 0,295 0,345	1340 2120 2900 3820 4790 5770 6750	1500 2360 3220 4220 5330 6380	4-59 11,00 20,80 36,05 56,00 78,30 105,80	2,23 5,53 10,58 17,53 27,33 39,40 53,90	2,36 5,47 10,22 18,52 28,67 38,90 51,90	0,0258 0,0238 0,0237 0,0248 0,0244 0,0228 0,0223	0,161 0,149 0,149 0,155 0,153 0,143 0,140

Im Mittel:

$$\cos \varphi = 0.0239.$$
 § = 0.150.

$E_c$	$J_c$	Konst.		
2100	0,1084	19 350		
2880	0,1484	19 370		
3830	0,1950	19 650		
4850	0,2450	19 800		

Konst.  $_{\text{Mittel}} = 19540.$ C = 0.157 Mi.

3. M und Rh.

$J_c$	$E_c$	Es	W	Ws	$W_K$	cos φ	Œ
0,0684	1570	1500	4,93	2,23	2,70	0,0252	0,156
0,1084	2480	2360	12,14	5,53	6,61	0,0245	0,153
0,1484	3400	3220	22,10	10,58	11,52	0,0228	0,143
0,1950	4460	4220	38,90	17,53	21,37	0,0245	0,153
0,2450	5600	5330	61,60	27,33	34,27	0,0250	0,156
0,2950	6750	6380	86,60	39,40	47,20	0,0237	0,148

$$\cos \varphi = 0.0243.$$
 § = 0.152.

$E_c$	$J_z$	Konst.
2470 3370	0,1084 0,1484	22 750 22 650
4470	0,1950	22 900
5680	0,2450	23 200

Konst. 
$$Mittel = 22880$$
.  $C = 0.134 \text{ Mi}$ .

4. *M* und *S*.

$J_c$	$E_c$	Es	W	Ws	$W_K$	cos q	Œ
0,0684	1700 2710	1500 2360	6,49	2,23 5,53	4,26 10,37	0,0367 0,0353	0,230
0,1484	3710	3220	30,60	10,58	20,02	0,0364	0,228
0,1950 0,2450	4860 61 <b>2</b> 0	4220 5330	54,70 85,40	17,53 27,33	37,17 58,07	0,0392 0,0388	0,246
0,2950	7360	6380	128,80	39,40	89,40	0,0412	0,258

Im Mittel:

$$\cos \varphi = 0.0379.$$
 © = 0.238.

Humann, Dissertation.

E <sub>c</sub>	J <sub>c</sub>	Konst.
2690	0,1084	24 800
3690	0,1484	24 800
4910	0,1950	25 200
6130	0,2450	25 000

Konst. 
$$\underline{\mathbf{M}}_{\text{ittel}} = 24950.$$
  
 $C = 0,123 \text{ Mi.}$ 

#### 5. Rh und S.

$J_c$	$E_c$	Es	w	Ws	$W_K$	cos q	Œ
0,0342	1010 2050	980 2010	2,16 8,30	0,81	1,35	0,0392	0,246
0,1084	3220	3130	20,20	2,90 6,68	5,40 13,52	0,0387	0,238
0,1284	3810 4400	3680 4280	28,90 38,90	9,25	19,65 26,63	0,0401	0,250
0,1684 0,1884	4990 5590	4820 5420	50,30 63,90	15,86 19,64	34,44 44,26	0,0410 0,0420	0,257

#### Im Mittel:

$$\cos \varphi = 0.04.$$
 © = 0.25.

$E_c$	$oldsymbol{J}_c$	Konst.	
2050	0,0692	29 600	
3210	0,1084	29 600	
3800	0,1284	29 600	
4410:	0,1484	29 700	
Kons	t. Mittel ==	 29 630. 0,104 M	

Wir wollen jetzt wie auf Seite 30 die charakteristischen Werte aus den Versuchsreihen 3, 4 und 5 für die Einzelkabel berechnen.

Zuerst berechnen wir die Kapazitäten.

Wir haben:

a) 
$$C_{m+Rh} = 0.134$$
  
 $C_{m+S} = 0.123$   
 $C_{Rh+S} = 0.104$ 

Daraus folgt:

$$C_m = 0.0765$$
  
 $C_{Rh} = 0.0575$   
 $C_S = 0.0465$ 

b) Für die Berechnung von  $\cos \varphi$  und  $\mathfrak{C}$  setzen wir die nachfolgenden Gleichungen an:

0,0765 
$$\cos \varphi_m + 0,0575 \cos \varphi_{Rh} = 0,134 \cos \varphi_{m+Rh}$$
  
0,0765  $\cos \varphi_m + 0,0465 \cos \varphi_S = 0,123 \cos \varphi_{m+S}$   
0,0575  $\cos \varphi_{Rh} + 0,0465 \cos \varphi_S = 0,104 \cos \varphi_{Rh+S}$ .

Daraus finden wir:

$$\cos \varphi_m = 0.0246$$
  
 $\cos \varphi_{Rh} = 0.0239$   
 $\cos \varphi_S = 0.0599$ 

c) Weiterhin ist:

0,0765 
$$\mathbb{G}_m$$
 + 0,0575  $\mathbb{G}_{Rh}$  = 0,134  $\mathbb{G}_m$  + Rh 0,0765  $\mathbb{G}_m$  + 0,0465  $\mathbb{G}_S$  = 0,123  $\mathbb{G}_m$  + S 0,0575  $\mathbb{G}_{Rh}$  + 0,0465  $\mathbb{G}_S$  = 0,104  $\mathbb{G}_{Rh+S}$  und daraus ergeben sich:

$$\mathfrak{C}_{m} = 0.154,$$
  
 $\mathfrak{C}_{Rk} = 0.149,$   
 $\mathfrak{C}_{S} = 0.353.$ 

Zur Bestimmung der charakteristischen Werte für m liegen aber auch noch die Versuchsreihen 1 und 2 vor, Aus diesen drei Ergebnissen berechnen sich die mittleren Werte für m.

$$\mathbb{G}_{m} = 0.0772.$$
 $\cos \varphi_{m} = 0.0236$ 
 $\mathbb{G}_{m} = 0.148$ 

6.  $T = T_I + T_{II}$ 

$J_c$	E <sub>c</sub>	Es	W	Ws	$W_K$	cos g	Œ
0,145	1385	1215	8,98	4,66	4,32	0,0215	0,135
0,245	2340	2075	25,70	13,08	12,62	0,0220	0,138
0,345	3295	2940	50,80	25,80	25,00	0,0220	0,138
0,445	4250	3750	81,90	41,90	40,00	0,0212	0,133
0,542	5180	4610	122,60	59,20	63,40	0,0226	0,142
0,642	6130	5500	172,50	83,80	88,70	0,0226	0,141
0,742	7090	6320	226,00	110,70	115,30	0,0220	0,137

$$\cos q = 0.022.$$
 © = 138.

E <sub>c</sub>	$J_c$	Konst.
1390	0,145	9580
2330	0,245	9520
5190	0,542	9580
6160	0,642	9590

Konst. Mittel = 9570. C = 0.322 Mi.

7.  $T_I$ .

$J_c$	$E_c$	Es	W	Ws	W <sub>K</sub>	cos $\varphi$	Œ
0,0684	1680	1500	4,86	2,23	2,63	0,0229	0,143
0,1084	2670	2360	12,42	5,53	6,89	0,0238	0,149
0,1484	366 <b>0</b>	3220	23,10	10,58	12,52	0,0231	0,144
0,1950	4800	4220	39,70	17,53	22,17	0,0237	0,148
0,2450	6030	5330	61,70	27,33	34,37	0,0233	0,145
0,2950	7270	6380	90,30	39,40	50,90	0,0238	0,148

$$\cos \varphi = 0.0234.$$
 § = 0.146.

E <sub>c</sub>	$J_c$	Konst.
1680	0,0684	24 600
2670	0,1084	24 600
4820	0,1950	24 700
7250	0,2950	24 600

Konst.  $_{\text{Mittel}} = 24630.$ C = 0.125 Mi.

## 8. T<sub>II</sub>.

$J_c$	$E_c$	Es	W	Ws	$W_K$	cos $\varphi$	Œ
0,145	2230	1910	14,35	7,43	6,92	0,0214	0,134
0,195	3000	2590	25,75	13,22	12,55	0,0215	0,134
0,245	3770	3220	41,10	20,80	20,30	0,0220	0,137
0,295	4530	3900	59,50	30,10	29,40	0,0220	0,138
0.345	5310	4520	80,00	40,50	39,50	0,0216	0,135.
0,395	6070	5190	105,40	53,00	1	0,0219	0,137
0,445	685o	5850	134,00	67,10	66,90	0,0219	0,138
0,295 0,345 0,395	4530 5310 6070	3900 4520 5190	59,50 80,00 105,40	30,10 40,50 53,00	29,40 39,50 52,40	0,0220 0,0216 0,0219	

#### Im Mittel:

$$\cos \varphi = 0.0219.$$
 © = 0.136.

E <sub>c</sub>	$J_c$	Konst.
2240	0,145	15 450
3020	0,195	15 450
3750	0,245	15 300
45 <b>2</b> 0	0,295	15 300

Konst.  $_{\text{Mittel}} = 15375$ . C = 0,200 Mi.

9. R<sub>I</sub>.

$J_c$	$E_{c}$	Es	w	Ws	$W_K$	cos q	Œ
0,0684	1470	1500	3,98	2,23	1,75	0,0174	0,109
0,1084	2335	2360	10,00	5,53	4,47	0,0177	0,110
0,1484	3200	3220	18,20	10,58	7,62	0,0160	0,100
0,1950	4200	4220	31,45	17,53	13,92	0,0170	0,106
0,2450	5270	5330	49.00	27.33	21,67	0,0168	0,105
0,2950	6350	638o -	71,50	39,40	32,10	0,0171	0,107

$$\cos \varphi = 0.017. \\
 &= 0.106.$$

$E_c$	$J_c$	Konst.
1475	0,0684	21 600
2320	0,1084	21 400
4220	0,1950	21 650
6330	9,2950	21 450

Konst. Mittel = 21530.  

$$C = 0.143 \text{ Mi.}$$

10. *R<sub>II</sub>*.

$J_c$	$E_c$	Es	W	$W_S$	$W_K$	cos q	Œ
0,145 0,245 0,345 0,445 0,542 0,642	1400 2360 3330 4290 5220 6200 7160	1215 2075 2940 3750 4610 5500 6320	8,18 22,75 44,70 72,10 107,70 153,20 207,60	4,66 13,08 25,80 41,90 59,20 83,80	3,52 9,67 18,90 30,20 48,50 69,40	0,0173 0,0167 0,0164 0,0158 0,0171 0,0175 0,0182	0,1080 0,1050 0,1030 0,0995 0,1080 0,1090

$$\cos \varphi = 0.017.$$
 § = 0.107.

$E_c$	$J_c$	Konst.
1400	0,145	9650
2370	0,245	9670
5225	0,542	9650
6 <b>2</b> 00	0,642	9650

Konst. 
$$_{\text{Mittel}}$$
 = 9660.  $C$  = 0,319 Mi.

Wir wollen nun, wie am Schlusse der Messungen mit der Periodenzahl  $\nu=39$ , auch für die vorstehenden Messungen mit  $\nu=52$  eine Zusammenstellung der charakteristischen Zahlen bringen.

Bezeichnung	C in Mi	cos $\varphi$	Œ
M	0,0772	0,0236	0,148
T	0,322	0,022	0,138
$T_I$	0,125	0,0234	0,146
$T_{II}$	0,200	0,0219	0,136
S	0,0465	0,0599	0,353
Rh	0,0575	0,0239	0,149
$R_I$	0,143	0,017	0,106
$R_{II}$	0,319	0,017	0,107

#### Periodenzahl $\nu = 72$ .

#### I. *M*.

$J_c$	$E_c$	<b>E</b> S	W	Ws	$W_K$	cos q	Œ
0,0342 0,0692 0,1084 0,1484 0,1884 0,1950 0,2450	940 1900 2980 4080 5180 5360 6740	1010 2110 3270 4490 5700	1,54 6,00 14,05 26,90 43,35 45,35 71,00	0,75 2,96 6,68 12,48 19,16 20,54 32,37	0,79 3,04 7,37 14,42 24,19 24,81 38,63	0,0245 0,0231 0,0228 0,0238 0,0248 0,0237 0,0234	0,154 0,146 0,144 0,150 0,151 0,149

$$\cos \varphi = 0.0237.$$
 $\xi = 0.149.$ 

$E_c$	$J_c$	Konst.
1905	0,0692	27 500
4020	0,1484	27 100
6870	0,2450	28 000

Konst.  $\underline{Mittel} = 27500.$ C = 0,0803 Mi.

### 2. $3 \times M$ .

$J_c$	E <sub>c</sub>	ES	W	Ws	$W_K$	cos $\varphi$	Œ
0,145	1325	1280	9,17	4,87	4,30	0,0224	0,141
0,245	2240	2125	25,20	13,16	12,04	0,0220	0,138
0,345	3160	2980	50,30	25,64	24,66	0,0226	0,143
0,445	4070	3820	82,10	42,75	39,35	0,0218	0,137
0,542	4960	4680	115,60	60,60	55,00	0,0205	0,128
0,642	588o	5510	162,40	82,90	79,50	0,0211	0,133
0,742	6790	6300	214,50	109,00	105,50	0,0209	0,131

#### Im Mittel:

cos. 
$$q = 0.0216$$
.  $0 = 0.136$ .

$E_c$	$J_c$	Konst.	
2220	0,245	9060	
3140	0,345	9100	
4910	0,542	9080	
6950	0,742	9380	

Konst. Mittel = 9150. C = 0.242.

3.  $T = T_I + T_{II}$ 

J <sub>c</sub>	$E_c$	ES	W	Ws	$W_K$	cos $\varphi$	Œ
0,245	1610	1770	20,5	11,89	8,61	0,0218	0,137
0,345	2270	2470	39,9	23,37	16,53	0,0211	0,132
0,445	2930	3190	65,9	38,47	27,43	0,0210	0,132
0,542	3560	3885	92,6	53,35	39,25	0,0204	0,128
0,642	4220	4600	128,2	73,55	54,65	0,0202	0,127
0,742	4880	5310	174,0	79,90	76,10	0,0211	0,132
0,842	5540	6015	221,0	124,80	96,20	0,0207	0,130
0,942	6200		279,0	156,00	123,00	0,0211	0,132

Im Mittel:

$$\cos \varphi = 0.0209.$$
  $\% = 0.131.$ 

$E_c$	$J_c$	Konst	
1610	0,245	6560	
2280	0,345	6590	
3560 4890	0,542	6570	
4890	0,742	6610	

Konst. Mittel = 6580. 
$$C = 0.337$$
 Mi.

## 4. $T_{I.}$

$J_c$	$E_c$	Es	W	Ws	W <sub>K</sub>	cos $\varphi$	Œ
0,0684	1195	1255	4,09	1,96	2,09	0,0256	0,160
0,1084	1895	1960	9,86	5,00	4,86	0,0237	0,148
0,1450	2535	2670	18,55	8,44	10,11	0,0275	0,172
0,1950	3410	3550	31,72	15,25	16,47	0,0247	0,155
0,2450	4280	4470	50,40	23,75	26,65	0,0254	0,159
0,2950	5160	5370	69,70	34,65	35,15	0,0231	0,144
0,3450	6030	6290	96,20	47,10	49,10	0,0236	0,144
0,3950	6910		127,50	61,80	65,70	0,0241	0,151

$$\cos \varphi = 0.0247.$$
 § = 0.154.



E <sub>c</sub>	$J_c$	Konst.	
1185	0,0684	17 330	
1888	0,1084	17 400	
4300	0,2450	17 550	
6 <b>090</b>	0,3450	17 650	

Konst.  $_{\text{Mittel}} = 17480.$ C = 0.127 Mi.

### 5. $T_{II}$ .

$J_c$	$E_c$	Es	W	Ws	$W_K$	cos $\varphi$	Œ
0,0684 0,1450 0,2450 0,3450 0,4450 0,5420 0,6420	720 1530 2585 3640 4695 5720 6770	790 1695 2860 4005 5160 6200	2,38 10,31 29,57 58,45 93,00 134.60 190,60	1,28 5,47 15,45 30,00 50,10 69,95 98,20	1,10 4,84 14,12 28,45 42,90 64,65 92,40	0,0225 0,0218 0,0223 0,0226 0,0205 0,0208 0,0213	0,141 0,137 0,140 0,142 0,129 0,130

#### Im Mittel: ,

$$\cos \varphi = 0.0219.$$
  $\& = 0.136.$ 

$E_c$	$J_c$	Konst.
710	0,0684	10 400
2570	0,2450	10 490
3650	0,3450	10 590
5790	0,5420	10 680

Konst.  $_{\text{Mittel}}$  = 10540. C = 0,21 Mi.



6. *S*.

$J_c$	$E_c$	Es	W	Ws	$W_K$	cos $\varphi$	Œ
0,0342	1590	1390	4,05	0,88	3,17	0,0584	0,367
0,0517	2410	2090	8,98	1,90	7,08	0,0568	0,398
0,0692	3220	2780	16,20	3,37	12,83	0,0576	0,362
0,0884	4110	3550	26,73	4,93	21,80	0,0600	0,377
0,1084	5030	4330	41,60	7,28	34,32	0,0630	0.397
0,1284	5980	5120	61,30	10,26	51,04	0,0665	0,418
0,1484	6920	5930	81,00	13,56	67,44	0,0655	0,412

Im Mittel:

$$\cos \varphi = 0.0611.$$
 § = 0.39.

$E_c$	$J_c$	Konst.		
1595 3 <b>24</b> 0	0,0342	46 600 46 800		
5020	0,1084	46 300		
69 <b>40</b>	0,1484	46 <b>700</b>		

Konst. Mittel = 
$$46600$$
.  
 $C = 0.0475$  Mi.

7. Rh.

J <sub>c</sub>	$E_c$	$E_S$	W	Ws	$W_K$	cos q	Œ
0,0342	1280	1010	1,70	0,75	0,95	0,0217	0,136
0,0692	2590	2110	6,88	2,96	3,92	0,0219	0,137
0,1084	4065	3270	16,20	6,68	9,52	0,0213	0,133
0,1484	5560	4490	31,10	12,48	18,62	0,0226	0,141
0,1884	7060	5700	50,30	19,60	31,14	0,0234	0,146
0,1950	7310	_	53,45	20,54	32,91	0,0231	0,144

$$\cos q = 0.0223.$$
 § = 0.139.

Ec	Jc	Konst.	
2575 4035	0,0692 0,1084	37 950 37 200	
5480	0,1484	36 900	
7390	0,1950	37 900	

Konst.  $_{\text{Mittel}} = 37490.$ C = 0.0594 Mi.

8. R<sub>I</sub>.

$J_c$	$E_c$	Es	w	Ws	W <sub>K</sub>	cos φ	Œ
0,0684	1035	1255	3,78	1,96	1,82	0,0256	0,161
0,1084	1645	1960	8,64	5,00	3,64	0,0204	0,128
0,1450	2200	2670	15,25	8,44	6,81	0,0214	0,134
0,1950	2955	3550	26,46	15,25	11,21	0,0195	0,122
0,2450	3715	4470	42,05	23,75	18,30	0,0201	0,126
0,2950	4475	5370	60,60	34,65	25,95	0,0197	0,123
0,3450	5230	6290	80,50	47,10	33,40	0,0185	0,116
0,3950	5990	_	106,60	61,80	44,80	0,0189	0,117
0,4450	6750	<u> </u>	134,20	78,40	55,80	0,0189	0,117

Ohne die erste Messung, die ganz aus der Reihe der anderen herausfällt, ergibt sich im Mittel:

$$\cos \varphi = 0.0197.$$
 § = 0.123.

$E_c$	$J_c$	Konst.
1025	0,0684	15 000
1635 3770	0,1084	15 080 15 380
5240	0,3450	15 180

Konst.  $_{\text{Mittel}} = 15.160.$ C = 0.146 Mi. 9. R<sub>II</sub>.

$J_c$	Ec	Es	W	Ws	$W_K$	cos $\varphi$	Œ
0,145	980	_	6,26	4,16	2,10	0,0148	0,0922
0,245	1650	1770	18,00	11,89	6,11	0,0152	0,0948
0,345	2320	2470	35,40	23,37	12,03	0,0150	0,0946
0,445	3000	3190	58,60	38,47	20,13	0,0151	0,0941
0,542	3660	3885	80,50	53,35	27,15	0,0137	0,0856
0,642	4330	4600	114,00	73,55	40,45	0,0145	0,0910
0,742	5010	5310	152,30	97,90	54,40	0,0146	0,0914
0,842	568o	6015	195,00	124,80	70,20	0,0147	0,0920
0,942	6380		247,00	156,00	91,00	0,0152	0,0950

Im Mittel:

$$\cos \varphi = 0.0148.$$
 © = 0.0923.

$E_{c}$	$J_c$	Konst.
1650	0,245	6740
2340	0,345	6790
3630	0,542	6760
5020	0,742	6770

Konst. 
$$_{\text{Mittel}}$$
 = 6750  $_{\text{C}}$  = 0,329 Mi.

Wir wollen jetzt wieder die charakteristischen Zahlen der Versuchsreihen mit der Periodenzahl  $\nu=72$  zusammenstellen:

Bezeichnung	C in Mi	cos φ	Œ
М	0,0805	0,0227	0,1430
T	0,3370	0,0209	0,1310
$T_I$	0,1270	0,0247	0,1540
$T_{II}$	0,2100	0,0219	0,1360
· S	0,0475	0,0611	0,3900
Rh	0,0594	0,0223	0,1390
Rį	0,1460	0,0197	0,1230
R <sub>II</sub>	0,3290	0,0148	0,0923

## Periodenzahl $\nu = 95$ .

#### I. М.

$J_c$	Ec	Es	Ws	W	$W_K$	cos $\varphi$	Œ
0,0684	1475	1640	4,66	2,38	2,28	0,0226	0,142
0,0884	1910	2115	7,66	3,82	3,84	0,0227	0,142
0,1084	2340	2600	11,40	5,80	5,60	0,0220	0,138
0,1284	2780	3060	15,90	8,01	7,89	0,0221	0,138
0,1484	3200	3540	21,85	10,20	11,65	0,0245	0,154
0,1950	4210	4700	37,50	17,10	20,40	0,0249	0,156
0,2450	5290	5810	59,10	27,00	32,10	0,0248	0,155
0,2950	6370	7070	82,10	37,80	44,30	0,0236	0,148

Im Mittel:

$$\cos \varphi = 0.0234$$
  
  $\& = 0.147$ 

$E_c$	$J_c$	Konst.		
1880	0,0884	21 300		
2750	0,1284	21 400		
4240	0,1950	21 800		
6500	0,2950	22 000		

Konst.  $M_{\text{ittel}} = 21600.$ C = 0,0779 Mi.

# $2. T = T_I + T_{II}.$

$J_c$	$E_c$	Es	w	$W_S$	$W_K$	cos $\varphi$	Œ
0,292	1520	1820	24,5	13,6	10,9	0,0246	0,155
0,492	2570	3020	66,4	40,9	24,5	0,0202	0,127
0,692	3610	4190	125,0	75,3	49,7	0,0199	0,125
0,892	4660	5380	207,0	125,0	82,0	0,0197	0,123
1,084	5670	6530	306,0	179,0	127,0	0,0207	0,129
1,284	6710	_	417,0	251,0	166,0	0,0193	0,121

#### Ohne die erste Messung ergibt sich ein Mittel:

$$\cos \varphi = 0.0200$$
 $\% = 0.125$ 

$E_c$	$J_c$	Konst.
2560	0,492	5200
361 <b>0</b>	0,692	5220
5670	1,084	5230
6750	1,284	5250

Konst.  $_{\text{Mittel}} = 5225$ C = 0,322 Mi.

3.  $T_I$ .

$J_c$	$E_c$	Es	W	Ws	W <sub>K</sub>	cos 🕏	Œ
0,1114	1480	_	7,55	3,70	3,85	0,0233	0,146
0,145	1920	1950	13,22	5,95	7,27	0,0260	0,163
0,195	2585	2590	22,80	10,60	12,20	0,0242	0,151
0,245	3245	3270	35,75	16,25	19,50	0,0246	0,153
0,295	3910	3930	52,10	23,35	28,75	0,0250	0,156
0,345	4570	4530	68,10	31,85	36,25	0,0230	0,144
0,395	5235	5210	89,80	41,25	48,55	0,0235	0,147
0,445	5900	6170	111,20	52,20	59,00	0,0225	0,141

#### Im Mittel:

$$\cos \varphi = 0.0240.$$
 © = 0.150.

$E_c$	$J_c$	Konst.
1420	0,1084	13 100
2625 3920	0,1950 0,2950	13 450
5170	0,3950	13 100

Konst.  $_{\text{Mittel}} = 13240.$ C = 0,127 Mi. 4. T<sub>II.</sub>

$J_c$	$E_c$	Es	w	Ws	$W_K$	cos q	Œ
0,145	1185	1120	8,11	4,25	3,86	0,0224	0,142
0,245	2000	1905	22,5	11,95	10,55	0,0215	0,135
0,345	2820	2670	43,2	23,1	20,1	0,0207	0,130
0,445	3640	3425	68,1	38,3	29,8	0,0184	0,116
0,542	4430	4190	101,0	54,4	46,6	0,0194	0,122
0,642	5250	4960	139,0	75,I	63,9	0,0190	0,119
0,742	6070	5710	193,5	98,6	94,9	0,0210	0,132
0,842	6890	6450	253,0	125,0	128,0	0,0221	0,138

Im Mittel:

$$\cos \varphi = 0.0206.$$
  $\& = 0.129.$ 

Ec	$J_c$	Konst.
1970	0,245	8050
2845	0,345	8250
4440	0,542	8200
6130	0,742	8250

Konst.  $_{\text{Mittel}} = 8190.$  C = 0,205 Mi.

5. S.

$J_c$	$E_c$	Es	W	WS	$W_K$	cos $\varphi$	.Œ
0,0342	1220	1050	2,51	0,73	1,78	0,0428	0,286
0,0517	1840	1590	5,61	1,67	3,94	0,0415	0,260
0,0692	2470	2130	10,25	2,90	7,35	0,0430	0,270
0,0884	3160	2720	16,70	4,39	12,31	0,0441	0,276
0,1084	3870	3300	25,35	6,68	18,67	0,0445	0,278
0,1284	4590	3920	37,30	9,25	28,05	0,0476	0,298
0,1484	5300	4490	51,00	12,22	38,78	0,0493	0,308
0,1684	6020	5060	66,50	14,82	51,68	0,0510	0,318
0,1884	6730	5620	86,00	18,55	67,45	0,0531	0,332

$$\cos \varphi = 0.0463.$$
 § = 0.292.

Ec	$J_c$	Konst.
1220	0,0342	35 800
2490	0,0692	36 <b>000</b>
3 <b>85</b> 0	c,1084	35 500
5275	0,1484	35 500

Konst.  $_{\text{Mittel}} = 35700.$ C = 0.0472 Mi.

6. Rh.

$J_c$	$E_c$	Es	W	Ws	$W_K$	cos $\varphi$	Ø
0,0342	98 <b>o</b>	1050	1,72	0,73	0,99	0,0296	0,185
0,0517	1480	1590	3,53	1,67	1,86	0,0244	0,152
0,0692	1980	2130	5,98	2,90	3,08	6,0220	0,138
0,0884	2530	2720	9,56	4,39	5,17	0,0231	0,145
0,1084	3100	3300	14,00	6,68	7,32	0,0218	0,137
0,1284	368o	3920	19,70	9,25	10,45	0,0221	0,139
0,1484	4250	4490	27,80	12,22	15,58	0,0246	0,155
0,1684	4820	5060	34,60	14,82	19,78	0,0244	0,153
0,1884	539 <b>0</b>	5620	44,30	18,55	25,75	0,0254	0,160

Mit Ausnahme des ersten Wertes, der wegen zu starker Abweichung nicht berücksichtigt werden soll, ergeben sich im Mittel:

$$\cos \varphi = 0.0235.$$
 § = 0.147.

$E_c$	$J_c$	Konst.
980	0,0342	28 600
1990	0,0692	28 800
3090	0,1084	28 500
4250	0,1484	28 600

Konst.  $_{\text{Mittel}}$  = 28 600. C = 0,0587 Mi.

Zur Vergleichung der Ergebnisse sollen in der nachfolgenden Versuchsreihe die beiden Kabel M und Rh in Parallelschaltung gemeinsam gemessen werden.

7. Rh und M.

$J_c$	$E_c$	Es	w	Ws .	WK	cos $\varphi$	Œ
0,1084 0,1450 0,1950 0,2450 0,2950 0,3450 0,3950 0,4420 0,5420	1330 1780 2400 3010 3620 4240 4860 5430 6670	1430 1950 2590 3270 3930 4530 5210	7,03 12,80 22,10 35,40 50,25 63,30 87,50 106,20 157,80	3,51 5,95 10,60 16,25 23,35 31,85 41,25 51,50 77,30	3,52 5,85 11,50 19,15 26,90 31,45 46,25 54,70 80,50	0,0244 0,0265 0,0246 0,0260 0,0252 0,0215 0,0241 0,0228 0,0223	0,153 0,166 0,154 0,163 0,158 0,135 0,151 0,144 0,139

#### Im Mittel:

$$\cos \varphi = 0.0242.$$
 § = 0.151.

$E_c$	$J_c$	Konst.
1320	0,1084	12150
2410	0,1950	12350
3630	0,2950	12300
488 <b>o</b>	0,3950	12350

Konst. 
$$_{\text{Mittel}}$$
 = 12290.  $C$  = 0,137 Mi.

Die Summe der Kapazitäten für M und Rh, welche aus den Versuchsreihen I und 6 gefunden wurden, ergibt, 0,1366, stimmt also mit dem obigen Wert 0,137 sehr gut überein.

8. R<sub>I.</sub>

$J_c$	$E_c$	$E_S$	w	Ws	Wĸ	cos $\varphi$	Œ
0,145 0,195 0,245 0,295 0,345 0,395 0,442 0,542	1690 2280 2860 3440 4020 4610 5160 6320	1950 2590 3270 3930 4530 5210	11,73 18,76 29,60 42,80 58,00 73,30 89,80 136,00	5,95 10,60 16,25 23,35 31,85 41,25 51,50 77,30	5,78 8,16 13,35 19,45 26,15 32,05 38,30 58,70	0,0236 0,0184 0,0191 0,0192 0,0190 0,0176 0,0168 0,0171	0,147 0,114 0,119 0,120 0,119 0,110 0,105 0,107

Mit Ausnahme der augenscheinlich ausfallenden ersten Messung ergibt sich im Mittel:

$$\cos \varphi = 0.0182.$$
 § = 0.117.

$E_c$	$J_c$	Konst.
2270	0,195	11650
3450	0,295	11700
5140	0,442	11600
6320	0,542	11700

Konst. 
$$_{\text{Mittel}} = 11660.$$
  
 $C = 0,1444 \text{ Mi.}$ 

.9. R<sub>II</sub>.

$J_c$	$E_c$	Es	w	Ws	W <sub>K</sub>	cos g	Œ
0,292	1550	1820	25,1	13,6	11,5	0,0254	0,159
0,492	2620	3020	68,2	40,9	27,3	0,0212	0,132
0,692	368o	4190	126,0	75,3	50,7	0,0200	0,125
0,892	4750	5380	213,5	125,0	88,5	0,0209	0,130
1,084	5770	6530	317,0	179,0	138,0	0,0221	0,138
1,284	6850	_	438,5	251,0	187,5	0,0213	0,133

Ohne die erste Messung ergibt sich im Mittel:

$$\cos \varphi = 0.0211.$$
  
© = 0.132.

$E_c$	$J_c$	Konst.
2610	0,492	5310
3680	0,692	5330
5780	1,084	5320
6870	1,284	5340

Konst.  $_{\text{Mittel}} = 5325$ . C = 0.316 Mi.

Wir wollen auch hier wieder eine Zusammenstellung der charakteristischen Werte geben.

Bezeichnung	C in Mi	cos g	Œ
	0,0779	0,0234	0,147
T	0,3220	0,0200	0,125
$T_I$	0,1270	0,0240	0,150
$T_{II}$	0,2050	0,0206	0,129
S	0,0472	0,0463	0,292
Rh	0,0587	0,0235	0,147
$R_I$	0, 1444	0,0182	0,117
$R_{II}$	0,3160	0,0211	0,132

Vorerst sollen jetzt die charakteristischen Werte für die einzelnen Kabel mit Angabe der Periodenzahl nochmals zusammengestellt werden. Hierbei sollen auch die Werte für den Isolationswiderstand und die Kapazität, mit Gleichstrom gemessen, wie auf S. 22 und 23 angegeben, aufgeführt werden.

Wir haben dabei die Kabel nach der Art der verwendeten Tränkungsmasse in drei Klassen zu bringen, nämlich:

Klasse X, mit den Kabeln M, T,  $T_I$ ,  $T_{II}$  und Rh, Klasse Y, mit den Kabeln  $R_I$  und  $R_{II}$ , Klasse Z, mit dem Kabel S.

In der Klasse X besteht die Tränkungsmasse aus einer Mischung von Harz und Mineralöl. Bei Klasse Y besteht die Mischung aus etwas weniger Harz mit einem

Mineralöl als Petroleumdestillat bei sehr hoher Temperatur.
Das Kabel S ist mit einer im Handel unter dem Namen Siderosten bekannten Masse getränkt.

In den nachfolgenden Tabellen bedeuten:

 $\mathcal{C}$  . . . . Kapazität in Mikrofarad mit Wechselstrom gemessen.

C'.... Kapazität in Mi mit Gleichstrom gemessen.

Is.... Isolationswiderstand nach I Min. Elektrisierung in 1 000 000 Ohm oder in Megohm.

Klasse X.

	$I_s$	C'	cos φ	C .	С
M					
c = 39	4200	0,086	0,0225	0,142	0,0795
c = 52	,	,	0,0236	0,148	0,0772
$\epsilon = 72$	,	,	0,0227	0,143	0,0805
c = 95	,	>	0,0234	0,147	0,0779
		•			
T		i .			
c = 39	450	0,347	0,0210	0,132	0,331
c = 52	,	"	0,0220	0,138	0,322
c = 72	,	, ,	0,0209	0,131	0,337
c = 95	•		0,0200	0,125	0,322
$T_{I}$					•
$\epsilon = 39$	710	0,134	0,0229	0,144	0,127
c = 52	•	,	0,0234	0,146	0,125
c = 72	,	<b>,</b>	0,0247	0,154	0,127
c = 95	,	•	0,0240	0,150	0,127
$T_{II}$					
c = 39	1250	0,213	0,0209	0,131	0,204
c = 52	>	, ,	0,0219	0,136	0,200
c = 72	,	,	0,0219	0,136	0,210
c = 95	,	,	0,0206	0,129	0,205
Rh					
c = 39	5500	0,0607	0,0231	0,144	0,0565
c = 52	,		0,0239	0,149	0,0575
$\epsilon = 72$	•	>	0,0223	0,139	0,0594
c = 95	,	,	0,0235	0,147	0,0587
•					!

Klasse Y.

	I <sub>s</sub>	C'	cos $\varphi$	Œ	С
$R_I$					
c = 39	169	0,164	0,0168	0,1060	0,145
c = 52	,,	,,	0,0170	0,1060	0,143
$\epsilon = 72$	,,	,,	0,0197	0,1230	0,146
c = 95	,,	,,	0,0182	0,1170	0,144
$R_{II}$					
c = 39	44	0,358	0,0164	0,1030	0,326
c = 52	,,	,,,	0,0170	0,1070	0,319
$\epsilon = 72$	,,	,,	0,0148	0,0923	0,329
c = 95	,,	,,	0,0211	0,1320	0,316
		İ			

Klasse Z.

	$I_s$	C'	cos $\varphi$	Œ	С
S					
c = 39	7	0,524	0,0646	0,392	0,0470
c = 52	,,	,,	0,0599	0,353	0,0465
c = 72	,,	,,	0,0611	0,390	0,0475
c = 95	,,	,,	0,0463	0,292	0,0472

Bei der Durchsicht der Ergebnisse können wir beobachten, daß die Konstante & bei allen Kabeln der der Klassen X und Y bei steigender Spannung fast unverändert bleibt, es sind wenigstens keine auffälligen Abweichungen zu bemerken. Hieraus kann der Schluß gezogen werden, daß die Energieverluste tatsächlich dem Quadrate der Spannung proportional sind.

Ein abweichendes Verhalten zeigt das Kabel S. Hier nehmen die Verluste stärker wie mit dem Quadrat der Spannung zu. Es zeigte sich bei höheren Spannungen sehr bald eine Erhitzung des Kabels. Für den praktischen Gebrauch ist dieses Imprägniermittel durchaus ungeeignet.

Ferner machen wir die Beobachtung, daß die mit Wechselstrom gemessenen Kapazitätswerte stets kleiner sind als die mit Gleichstrom erhaltenen. Diese Erscheinung ist in der elektrotechnischen Praxis bekannt. Besonders auffällig ist dieser Unterschied bei dem Kabel S. Man kann bei diesem Kabel überhaupt keinen ballistischen Ausschlag mehr erzielen, die Alenkung vollzieht sich vielmehr langsam und ruckweise, fast jede Messung ergibt einen anderen Wert. Neuerdings will man aus dem Verhältnis der mit Wechselstrom zu der mit Gleichstrom gemessenen Kapazität ein Maß für die Güte des Kabels ableiten. Dieses Verhältnis soll möglichst I sein.

Wie aus der Zusammenstellung der Werte für die Kabel der Klasse X zu ersehen ist, sind die Konstanten  $\mathfrak E$  für alle Messungen sehr wenig voneinander verschieden. Es kann daraus geschlossen werden, daß die Energieverluste proportional der Periodenzahl der Wechselspannung sind. Ermittelt man für  $\cos \varphi$  und die Konstante  $\mathfrak E$  den Mittelwert aus allen Versuchen, so ist man in der Lage, für jedes Kabel, welches nach Klasse X imprägniert ist, den Energieverbrauch bei gegebener Periodenzahl, Spannung und Kapazität zu berechnen.

Die Mittelwerte für Klasse X sind:

$$\cos \varphi = 0.0225$$
  
§ = 0.141

Damit ist der experimentelle Beweis für die anfangs aufgestellte Beziehung

$$W = \text{Konst.} \times E^2 \nu C$$

erbracht.

Auch in der Zusammenstellung der Werte der Klasse Y bemerken wir das Konstantbleiben von © mit Ausnahme der letzten Messung. Jedenfalls ist diese starke Abweichung auf eine Temperaturänderung zurückzuführen. Wie wir später sehen werden, ändern sich die Energieverluste mit der Temperatur sehr stark.

Die Mittelwerte für cos  $\varphi$  und  $\mathfrak C$  für die Klassen Y und Z sind:

Klasse Y:

$$\cos \varphi = 0.0171.$$
  $\emptyset = 0.108.$ 

Klasse Z:

$$\cos \varphi = 0.058.$$
 § = 0.376.

Wenn wir nach diesen Ergebnissen die Güte der Kabel beurteilen wollen, so müssen wir sagen, daß Klasse Y die beste ist, da bei derselben die geringsten Verluste im Dielektrikum auftreten. Die späteren Messungen bei verschiedenen Temperaturen werden aber zeigen, daß der Klasse X entschieden der Vorzug zu geben ist.

Wir wollen jetzt eine Reihe von Messungen bei verschiedenen Temperaturen an den Kabeln  $T_I$ ,  $T_{II}$ , T und  $R_I$  ausführen.

Die zu untersuchenden Kabel wurden in ein Wasserbassin eingebracht, welches elektrisch geheizt werden konnte.

Alle folgenden Messungen der Verluste wurden mit sinusförmigem Wechselstrom von 72 Perioden pro Sekunde ausgeführt.

## Messungen bei 9,5°C.

Vor der Messung der Verluste wurde der Isolationswiderstand und die Kapazität mit Gleichstrom gemessen.

Es ergab sich dabei:

	Isolation:	Kapazität:
$T_{I}$	25 700 Megohm	o,134 Mi
$T_{II}$	бі 800 »	0,216 »
$T = T_I + T_{II}$	, 18100 »	0,348 »

1.  $T_{I}$ .

$J_c$	Ec	Es	$W_t$	Ws	W <sub>h</sub>	cos g	Œ
0,0884	1580	1620	6,55	3,51	3,04	0,0218	0,136
0,1084	1940	1990	9,65	5,40	4,25	0,0202	0,126
0,1284	2300	2350	14,30	7,83	6,47	0,0219	0,137
0,1484	2650	2720	17,90	9.54	8,36	0,0212	0,133
0,1684	3010	3160	24,20	12,90	11,30	0,0223	0,139
0,195	3480	3630	32,70	16,05	16,65	0,0246	0,154
0,22	3930	4070	40,10	21,60	18,50	0,0214	0,134
0,245	4380	4530	50,10	25,80	24,30	0,0226	0,142
0,27	4820	5040	61,50	30,60	30,90	0,0237	0,149
0,295	5270	5460	70,30	37,10	32,20	0,0208	0,130
0,32	5720	5910	82,60	44,80	37,80	0,0206	0,129
0,345	6160	6340	99,00	50,30	48,70	0,0229	0,144
0,37	6620	6790	108,20	59,10	49,10	0,0200	0,125

$$\cos \varphi_{9,5} = 0.0218.$$
 $\mathfrak{E}_{9,5} = 0.137.$ 

Die Tourenzahl des Antriebsmotors des Wechselstromgenerators blieb nicht ganz konstant, daher stimmen die einzelnen Ablesungen nicht vollständig überein.

$E_c$	$J_c$	Konst.	
1570	0,0884	17 800	
2270	0,1284	17 700	
5300	0,2950	17 950	
6200	0,3450	17 950	

Konst. 
$$_{\text{Mittel}} = 17850.$$
  
 $C = 0.124 \text{ Mi.}$ 

2.  $T_{II}$ .

$J_c$	$E_c$	Es	$W_t$	$W_S$	$W_K$	cos φ	Œ
0,195	2150	2320	17,80	10,65	7,15	0,0170	0,108
0,245	2700	2900	29,85	15,20	14,65	0,0221	0,140
0,295	3270	3480	41,80	23,45	18,35	0,0190	0,119
0,345	3800	4070	58,70	31,30	27,40	0,0208	0,132
0,395	4350	4050	73,90	41,90	32,00	0,0186	0,117
0,392	4320	4700	69,30	40,90	28,40	0,0168	0,106
0,442	4880	5230	90,90	50,00	40,90	0,0190	0,120
0,492	5430	5790	116,00	61,50	54,50	0,0204	0,128
0,542	5980	6380	145,00	76,20	68,80	0,0212	0,134
0,592	6530	6990	169,80	91,40	78,40	0,0203	0,128
0,642	7080	_	189,70	103,00	86,70	0,0191	0,120
					'	1	

$$\cos \varphi_{9,5} = 0.0195.$$
 $\mathfrak{C}_{9,5} = 0.123.$ 

$E_c$	$J_c$	Konst.		
2120	0,195	10 900		
3240 6000	0,542	11 100		
7100	0,642	11 100		

Konst.  $_{\text{Mittel}} = 11025.$ C = 0,200 Mi.

3.  $T = T_I + T_{II}$ .

$J_c$	$E_c$	Es	$W_t$	Ws	$W_K$	cos $\varphi$	Œ
0,342 0,442 0,542 0,642 0,742 0,842 0,942	2340 3020 3700 4390 5080 5760 6440	2440 3190 3920 4620 5310 6020 6730	41,1 67,1 98,0 131,4 184,3 234,0 300,0	22,7 39,6 58,5 79,0 103,7 130,0 166,3	18,4 27,5 39,5 52,4 80,6 104,0	0,0230 0,0206 0,0197 0,0186 0,0216 0,0215 0,0220	0,146 0,130 0,124 0,117 0,134 0,135 0,138

$$\cos \varphi_{9.5} = 0.0121.$$
  
 $\mathfrak{C}_{9.5} = 0.132.$ 

$E_c$	$J_c$	Konst.		
2335	0,342	6850		
3700	0,542	6850		
4390	0,642	6840		
5750	0,842	6830		

Konst. 
$$Mittel = 6845$$
.  $C = 0.324$  Mi.

Wie zu erwarten war, liegen die Werte für  $\cos \varphi$  und  $\mathfrak E$  bei der Messung 3 in der Mitte zwischen denen der Messungen 1 und 2. Die Kapazität von T ist genau die Summe der Einzelwerte von  $T_I$  und  $T_{II}$ .

## Messungen bei 10,3°C.

Isolation: 1640 Megohm.

Kapazität: 0,151 Mi.

 $R_{I}$ .

$J_c$	$E_c$	Es	$W_t$	$W_S$	$W_K$	cos $\varphi$	C
0,1284	2000	1820	11,55	6,15	5,40	0,0210	0,13
0,1684	2630	2390	19,85	10,50	9.35	0,0211	0,13
0,2200	3430	3160	32,00	16,70	15,30	0,0203	0,12
0,2700	4210	3840	50,00	25,10	24,90	0,0219	0,13
0,3200	4990	4550	68,90	34,20	34,70	0,0218	0,13
0,3700	5770	5240	92,00	46,20	45,80	0,0215	0,13
0,4200	6550	5950	115,00	59,70	55,30	0,0201	0,12

$$\cos \varphi_{\text{10,3}} = 0.0211.$$
  
 $\omega_{\text{10,3}} = 0.133.$ 

E <sub>c</sub>	$J_c$	Konst.
1990	0,1284	15 500
2620	0,1684	15 550
4230	0,2700	15 650
5010	0,3200	15 650

Konst.  $\underline{\mathbf{M}}_{\text{ittel}} = 15590.$  C = 0.142 MeV

## Messungen bei 13,8°C.

	Isolation	Kapazität		
$T_I$	16 250 Meg.	0,135 Mi.		
$T_{II}$	26 300 »	0,214 »		
$T = T_I + T_{II}$	9 500 »	0,345 »		
$R_I$	I OIO »	0,155 »		

1.  $T_I$ .

$J_c$	$E_c$	<b>E</b> s	$W_t$	Ws	$W_K$	cos g	Œ
0,0884	1560	1620	6,55	3,38	3,17	0,0230	0,145
0,1284	2270	2350	14,15	7,02	7,13	0,0245	0,154
0,1684	2980	3100	24,70	12,30	12,40	0,0247	0,155
0,2200	3900	4070	42,40	19,60	22,80	0,0266	0,16
0,2700	4780	4980	64,60	28,50	36,10	0,0280	0,176
0,3200	5670	5900	87,80	42,20	45,60	0,0251	0,15
0,3700	6550	6790	120,60	55,50	65,10	0,0269	0,16

Im Mittel:

$$\cos \varphi_{13,8} = 0.0255.$$
  $\&_{13,8} = 0.160.$ 

$E_c$	$J_c$	Konst.
1560	0,0884	17 650
2260	0,1284	17 600
5240	0,2950	17 780
6980	0,3950	17 650

Konst.  $_{\text{Mittel}} = 17700.$ C = 0.125 Mi.

2. T<sub>II.</sub>

$J_c$	$E_c$	Es	$W_t$	Ws	$W_{K}$	cos $\varphi$	Œ
0,195	2140	2310	19,65	10,45	9,20	0,0220	0,138
0,295	3240	3480	44,20	23,05	21,15	0,0221	0,139
0,395	4340	4650	80,00	41,60	38,40	0,0224	0,141
0,442	4870	5140	97.30	48,10	49,20	0,0229	0,143
0,492	5420	5740	117,20	58,60	58,60	0,0220	0,138
0,542	5970	6330	142,00	75,90	66,10	0,0204	0,128
0,592	6520	6920	170,70	86,50	84,20	0,0218	0,136
0,642	7060	_	203,50	101,40	102,10	0,0225	0,141

$$\cos q_{13.8} = 0.022.$$
  
 $\mathfrak{C}_{13.8} = 0.138.$ 

Ec	$J_c$	Konst.
2160	0,195	11 080
3240	0,295	11 000
5940	0,542	10 950
7050	0,642	10 980

Konst. 
$$_{\text{Mittel}} = 11000.$$
  
 $C = 0.201 \text{ Mi.}$ 

3.  $T = T_I + T_{II}$ 

$J_c$	$E_c$	Es	$W_t$	Ws	$W_K$	cos $\varphi$	Œ
0,442	2980	3170	69,2	37,1	32,1	0,0244	0,152
0,542	3660	3900	102,8	53,5	49,3	0,0249	0,155
0,642	4330	4600	137,5	77.7	59,8	0,0215	0,134
0,742	5000	5350	189,5	100,8	88,7	0,0239	0,149
0,842	568o	6050	234,0	129,0	1050	0,0219	0,137
0,942	6350	6750	299,5	157,8	141,7	0,0238	0,148

$$\cos \varphi_{13,8} = 0.0234.$$
 $\mathfrak{E}_{13,8} = 0.146.$ 

E <sub>c</sub>	J <sub>c</sub>	Konst.
29 <b>80</b>	0,442	6750
366 <b>o</b>	0.542	6760
4330	0,642	6750
5000	0,742	6750

Konst. Mittel = 6750. C = 0.328 Mi.

## 4. R<sub>I.</sub>

$J_c$	E <sub>c</sub>	Es	$ W_t $	Ws	W <sub>K</sub>	cos q	C
0,1284	1980	1820	10,85	6,21	4,64	.0,0183	0,115
0,1684	2600	2380	18,8	10,30	8,50	0,0194	0,122
0,2200	3390	3140	31,6	17,00	14,60	0,0196	0,123
0,2700	4160	3860	46,7	25,00	21,70	0,0193	0,122
0,3200	4940	4520	66,3	35,40	30,90	0,0195	0,123
0,3700	5710	5240	90,3	44,80	45,50	0,0215	0,136
0,4200	6480	5990	114,5	60,70	53,80	0,0198	0,124

#### Im Mittel:

$$\cos \varphi_{13,8} = 0.0196.$$
  $\&_{13,8} = 0.124.$ 

E <sub>c</sub>	$J_c$	Konst.
1970	0,1284	15 340
2570	0,1684 ·	15 270
4200	0,2700	15 550
496 <b>0</b>	0,3200	15 500

Konst.  $_{\text{Mittel}} = 15420.$  C = 0.143 Mi.

## Messungen bei 17° C.

Zuerst wurde der Isolationswiderstand und die Kapazität bestimmt.

	Isolation:	Kapazität:		
$T_I$	6680 Meg	0,137 Mi		
$T_{II}$	14550 »	0,216 »		
$T = T_I + T_{II}$	4580 »	0,352 »		

I.  $T_L$ 

J <sub>c</sub>	$E_c$	Es	$W_t$	$w_S$	WK	cos $\varphi$	Œ
0,0884	1550	1620	7,1	3,17	3,93	0,0287	0,179
0,1284	2250	2370	13,8	7,10	6,70	0,0232	0,146
0,1684	2960	3090	24,2	12,10	12,10	0,0243	0,152
0,2200	3860	4100	41,1	19,40	21,70	0,0256	0,161
0,2700	4740	5000	62,5	30,40	32,10	0,0250	0,157
0,3200	5620	5920	84,6	41,50	43,10	0,0240	0,150
0,3700	6500	_	110,0	55,50	54,50	0,0227	0,143

$$\cos \varphi_{17} = 0.0248.$$
  
 $\mathfrak{C}_{17} = 0.155.$ 

$E_c$	$J_c$	Konst.
1530	0,0884	17 350
2330	0,1284	18 100
5130	0,2950	17 400
6010	0,3450	17 400

Konst. 
$$_{\text{Mittel}} = 17560.$$
  $C = 0,126.$ 

2. T<sub>II</sub>.

$J_c$	$E_c$	Es	$W_t$	Ws	$W_K$	cos $\varphi$	Œ
0,195	2110	2340	19,5	10,4	9,1	0,0221	0,139
0,295	3200	3480	43,5	22,8	20,7	0,0219	0,138
0,395	4280	4640	77.2	40,0	37,2	0,0220	0,139
0,442	4790	5200	94,1	51,3	42,8	0,0203	0,127
0,492	5330	5750	114,5	63,5	51,0	0,0195	0,123
0,542	588o	6310	139,5	75,3	64,2	0,0201	0,126
0,592	6420	6930	166,0	88,8	77,2	0,0203	0,127
0,642	6960		203,0	104,2	98,8	0,0222	0,139

$$\cos \varphi_{17} = 0.0211$$
 $\mathfrak{C}_{17} = 0.132$ 

$E_c$	$J_c$	Konst.
2110	0,195	10 800
3200	0,295	10 840
5850	0,542	10 800
6980	0,642	10 880

Konst. 
$$_{\text{Mittel}} = 10830$$
  
 $C = 0,204 \text{ Mi.}$ 

## 3. $T = T_I + T_{II}$ .

$J_c$	$E_c$	Es	$W_t$	Ws	$W_K$	cos $\varphi$	Œ
0,442	, 2930	3200	67,8	37,1	30,7	0,0238	0,149
0,542	3600	3930	100,5	55,3	45,2	0,0232	0,145
0,642	4260	4630	137,2	80,5	56,7	0,0207	0,130
0,742	4920	5330	188,5	101,0	87,5	0,0240	0,150
0,842	5580	6050	230,5	126,2	104,3	0,0222	0,139
0,942	6250	6730	294,0	163,7	130,3	0,0222	0,139

$$\cos \varphi_{17} = 0.0227.$$
 $\mathfrak{C}_{17} = 0.142.$ 

$E_c$	$J_c$	Konst.
2940	0,442	6650
3580	0,542	6610
4250	0,642	6630
4930	0,742	6650

Konst.  $\underline{Mittel} = 6630$ . C = 0.334 Mi.

## Messungen bei 17,5° C.

Isolation 456 Megohm. Kapazität 0,165 Mi.

 $R_{I}$ 

J <sub>c</sub>	$E_c$	Es	$W_t$	Ws	WK	cos φ	Œ
0,0884	1360	1260	4,93	2,97	1,96	0,0163	0,103
0,1284	1980	1830	10,38	6,21	4,17	0,0164	0,103
0,1684	2600	2390	17,80	10,50	7,30	0,0167	0,104
0,2200	3400	3170	28,90	17,00	11,90	0,0159	0,100
0,2700	4170	3860	44,70	25,20	19,50	0,0173	0,109
0,3200	4940	4560	61,30	35,40	25,90	0,0164	0,103
0,3700	5710	5230	84,50	46,60	37,90	0,0179	0,113
0,4200	6490	5970	107,80	60,20	47,60	0,0175	0,110

Im Mittel:

$$\cos \varphi_{17,5} = 0.0168.$$
  $\Im_{17,5} = 0.106.$ 

$E_c$	$J_c$	Konst.
1370	0,0884	15 500
1970	0,1284	15 320
4170	0,2700	15 450
4920	0,3200	15 400

Konst. Mittel = 15420. C = 0.143 Mi.

## Messungen bei 21,5° C.

	Isolation:	Kapazität:
$T_{I}$	4000 Meg.	0,138 Mi.
$T_{II}$	10000	0,217 >
$T = T_I + T_I$	// 2740 »	0,351 >
$R_I$	326 »	0,195 »

### I. $T_I$ .

$J_c$	$E_c$	Es	Wt	w <sub>s</sub>	$W_K$	cos $\varphi$	Œ
0,0884	1500	1620	6,75	3,38	3,37	0,0254	0,160
0,1284	2190	2350	14,40	7,02	7,38	0,0262	0,164
0,1684	2870	3100	25,00	12,30	12,70	0,0263	0,165
0,2200	3750	4070	41,30	19,60	21,70	0,0263	0,165
0,2700	4600	4980	63,10	28,50	34,60	0,0278	0,174
0,3200	5450	5900	86,50	42,20	44,30	0,0254	0,159
0,3700	6300	6790	116,00	55,50	60,50	0,0260	0,163

$$\cos \varphi_{21,5} = 0.0262.$$
  
 $\mathfrak{E}_{21,5} = 0.164.$ 

Ec	$J_c$	Konst.
1480	0,0884	16 800
2160	0,1284	16 800
5080	0,2950	17 200
6820	0,3950	17 280

Konst. Mittel = 17 020. 
$$C = 0.13$$
 Mi.

## 2. T<sub>II</sub>.

$J_c$	$E_c$	Es	$W_t$	WS	$W_K$	cos q	Œ
0,195	2080	2310	19,2	10,45	8,75	0,0216	0,135
0,295	3140	3480	43,8	23,05	20,75	0,0224	0,141
0,395	4210	4650	80,5	41,60	38,90	0,0234	0,147
0,442	4720	5140	95,3	48,10	47,20	0,0226	0,142
0,492	5250	5740	120,5	58,60	61,90	0,0240	0,150
0,542	5790	6330	141,5	75,90	65,60	0,0210	0,131
0,592	6320	6920	170,0	86,50	83,50	0,0223	0,140
0,642	6850	_	204,0	101,40	102,60	0,0234	0,147

## Im Mittel:

$$\cos \varphi_{21,5} = 0.0226.$$
 §  $_{21,5} = 0.142.$ 

$E_c$	$\dot{J_c}$	Konst.
2070	0,195	10 600
3100	0,295	10 500
5830	0,542	10 750
6900	0,642	10 750

Konst.  $_{\text{Mittel}}$  = 10650.  $_{\text{C}}$  = 0,208 Mi.

## 3. $T = T_I + T_{II}$ .

$J_c$	$E_c$	Es	$W_t$	Ws	$ v_K $	cos φ	Œ
0,442	2900	3170	67,5	37,1	30,4	0,0237	0,149
0,542	3550	3900	100,5	53,5	47,0	0,0245	0,154
0,642	4210	4600	136,0	77,7	58,3	0,0216	0,135
0,742	4860	5350	184,0	100,8	83,2	0,0231	0,145
0,842	5510	6050	238,0	129,0	109,0	0,0236	0,148
0,942	6170	6750	292,0	157.8	135,2	0,0233	0,146

$$\cos \varphi_{21,5} = 0.0233.$$
 $\mathscr{E}_{21,5} = 0.146.$ 

E <sub>c</sub>	$J_c$	Konst.
2880	0,442	6520
3540	0,542	6540
4190	0,642	6540
4890	0,742	6600

Konst.  $_{\text{Mittel}}$  = 6550. C = 0,338 Mi.

#### 4. R<sub>I</sub>.

$J_c$	$E_c$	Es	$W_t$	Ws	$W_K$	cos q	Œ
0,1284 0,1684 0,2200 0,2700 0,3200 0,3700 0,4200	1920 2520 3300 4040 4790 5530 6290	1820 2380 3140 3860 4520 5240	9,58 16,20 27,10 40,50 56,90 76,10 97,50	6,21 10,30 17,00 25,00 35,40 44,80 60,70	3,37 5,90 10,10 15,50 21,50 31,30 36,80	0,0137 0,0139 0,0139 0,0142 0,0140 0,0153 0,0139	0,0862 0,0875 0,0875 0,0894 0,0885 0,0964

### Im Mittel:

$$\cos \varphi_{21,5} = 0.0141.$$
 $\mathbb{G}_{21,5} = 0.089.$ 

$E_c$	$J_c$	Konst.
1900	0,1284	14 800
2500	0,1684	14 850
4080	0,2700	15 100
4830	0,3200	15 100

Konst.  $_{\text{Mittel}}$  = 14 960. C = 0,148 Mi.

## Messungen bei 24,5°C.

	Isolation:	Kapazität:	
$T_{I}$	1850 Meg.	0,139 Mi.	
$T_{II}$	4590 »	0,217 »	
$T = T_I + T_{II}$	1275 »	0,352 »	
$R_I$	200 »	0,227 »	

I.  $T_I$ .

$J_c$	$E_c$	Es	$W_t$	Ws	$W_K$	cos φ	Œ
0,0884	1490	1620	6,55	3,38	3,17	0,0241	0,152
0,1284	2170 2840	2350 3100	13,80 23,50	7,02 13,30	6,78	0,0243	0,152
0,2200	3710 4560	4070	40,20	19,60	20,60	0,0252	0,159
0,2700	5400	4980 5900	59,60 83,90	28,50 42,20	31,10	0,0252	0,159
0,3700	6250	6790	113,00	55,50	57,70	0,0250	0,157

Im Mittel:

$$\cos \varphi_{^{24,5}} = 0.0248.$$
  
 $\mathfrak{C}_{^{24,5}} = 0.154.$ 

$E_c$	$J_c$	Konst.		
1470	0,0884	16 700		
2130	0,1284	16 600		
5070	0,2950	17 200		
6730	0,3950	17 000		

Konst.  $_{\text{Mittel}} = 16875$ . C = 0.131 Mi.

2. T<sub>II</sub>.

$J_c$	$E_c$	Es	$W_t$	Ws	$W_K$	cos $\varphi$	C
0,195	2060	2310	19,2	10,45	8,75	0,0218	0,136
0,295	3110	3480	43.9	23,05	20,85	0,0227	0,143
0,395	4170	4650	79.5	41,60	37,90	0,0230	0,144
0,442	4670	5140	92,0	48,10	43,90	0,0213	0,133
0,492	5200	5740	119,3	58,60	60,70	0,0237	0,149
0,542	5720	6330	138,8	75,90	62,90	0,0203	0,127
0,592	6250	6920	172,3	86,50	85,80	0,0232	0,146
0,642	67 <b>8</b> 0	_	198,3	101,40	96,90	0,0222	0,139

$$\cos \varphi_{24,5} = 0.0223.$$
  
 $\mathfrak{C}_{24,5} = 0.140.$ 

E <sub>c</sub>	$J_c$	Konst.
2040	0,195	10 450
3100	0,295	10 500
5740	0,542	10 580
6820	0,642	10 630

Konst. 
$$_{\text{Mittel}} = 10540.$$
  $C = 0.21 \text{ Mi.}$ 

## 3. $T = T_I + T_{II}$ .

$J_c$	$E_c$	Es	$\overline{w_t}$	Ws	W <sub>K</sub>	cos $\varphi$	Œ
0,442 0,542 0,642 0,742 0,842 0,942	2860 3500 4150 4800 5450 6100	3170 3900 4600 5350 6050 6750	67,2 99,0 136,0 177,5 228,5 286,0	37,1 53,5 77,7 100.8 129,0 157,8	30,1 45.5 58,3 76,7 99,5 128,2	0,0238 0,0240 0,0219 0,0216 0,0217	0,149 0,151 0,138 0,135 0,136 0,140

$$\cos \varphi_{^{24,5}} = 0.0226.$$
  $\mathfrak{G}_{^{24,5}} = 0.142.$ 

$E_c$	$J_c$	Konst.
2840 3520 4160	0,442 0,542 0,642	6430 6500 6490
4810	0,742	6490

Konst. 
$$_{\text{Mittel}} = 6478$$
.  $C = 0.342 \text{ Mi}$ .

#### 4. R<sub>I</sub>.

$J_c$	$E_c$	$E_S$	$W_t$	Ws	$W_{K}$	cos φ	Œ
0,1284	1930	1820	8,7	6,21	2,49	0,0100	0,0632
0,1684	2530	2380	15,7	10,30	5,40	0,0127	0,0796
0,2200	3300	3140	25,5	17,00	8,50	0,0117	0,0736
0,2700	4050	3860	38,0	25,00	13,00	0,0119	0,0750
0,3200	4800	4520	54,0	35,40	18,60	0,0121	0,0763
0,3700	5550	5240	75,6	44,80	30,80	0,0150	0,0945
0,4200	6300		93,0	57,80	35,20	0,0133	0,0837

#### Im Mittel:

$$\cos \varphi_{24,5} = 0.0124.$$
  
 $\&_{24,5} = 0.078.$ 

$E_c$	$J_c$	Konst.
1900	0,1284	14 800
2490	0,1684	14 800
4070	0,2700	15 100
4880	0,3200	15 260

Konst. 
$$_{\text{Mittel}}$$
 = 14990.  $_{\text{C}}$  = 0,1475 Mi.

## Messungen bei 27,5° C.

	Isolati	ion:	Kapazi	tät :
$T_{I}$	1120	Meg.	0,137	Mi.
$T_{II}$	2450	»	0,216	<b>»</b>
$T = T_I + T_{II}$	710	»	0,351	>>
$R_{I}$	168	»	0,274	>

I. T<sub>I</sub>.

$J_c$	$E_c$	Es	$W_t$	Ws	$W_K$	cos q	Œ
0,0884	1500	1620	6,4	3,38	3,02	0,0228	0,143
0,1284	2190	2350	13,8	7,02	6,78	0,0241	0,150
0,1684	2870	3100	23,5	11,30	11,20	0,0232	0,145
0,2200	3740	4070	39,9	19,60	20,30	0,0246	0,154
0,2700	4600	4980	58,9	28,50	30,40	0,0245	0,153
0,3200	5450	5900	828	42,20	40,60	0,0233	0,146
0,3700	6300	6790	110,0	55,50	54,50	0,0234	0,146

# Im Mittel:

$$\cos \varphi_{27.5} = 0.0237.$$
 $\mathfrak{C}_{27.5} = 0.148.$ 

$E_c$	$J_c$	Konst.
1500 2170	0,0884 0,1284	17 000 16 900
5030	0,1264	17050
6760	0,3950	17 100

Konst. 
$$Mittel = 17010$$
.  $C = 0,13 \text{ Mi}$ .

2.  $T_{II}$ 

$J_c$	$E_c$	Es	$W_t$	Ws	$W_K$	cos g	Œ
0,195 0,295 0,395 0,442 0,492 0,542 0,592 0,642	2070 3130 4190 4690 5220 5760 6280 6820	2310 3480 4650 5140 5740 6330 6920	19,2 42,0 73,7 91,4 110,0 131,0 157,0 187,0	10,45 23,05 41,60 48,10 58,60 75,90 86,50 101,40	8,75 18,95 32,10 43,30 51,40 55,10 70,50 85,60	0,0216 0,0206 0,0194 0,0209 0,0200 0,0177 0,0189 0,0195	0,135 0 128 0,121 0,130 0,125 0,110 0,118 0,121

$$\cos \varphi_{27,5} = 0.0198.$$
  $\&_{27,5} = 0.124.$ 

$E_c$	$J_c$	Konst,
2090	0,195	10 700
3130	0,295	10 600
5730	0,542	10 550
6810	0,642	10 600

Konst.  $_{\text{Mittel}}$  = 10610.  $_{\text{C}}$  = 0,2085 Mi.

### 3. $T = T_I + T_{II}$ .

$J_c$	$E_z$	$E_S$	$W_t$	Ws	W <sub>K</sub>	cos g	Œ
0,442	2860	3170	65,9	37,1	28,8	0,0228	0,143
0,542	3510	3900	98,3	53.5	44,8	0,0236	0,148
0,642	4160	4600	129,6	77,7	51,9	0,0194	0,122
0,742	4800	5350	172,8	100,8	72,0	0,0202	0,127
0,842	5450	6050	218,0	129,0	89,0	0,0194	0,122
0,942	6100	6750	269,0	157,8	111,2	0,0194	0,122

#### Im Mittel:

$$\cos q_{27,5} = 0.0208.$$
  
 $\mathfrak{C}_{27,5} = 0.131.$ 

E <sub>c</sub>	$J_c$	Konst.
2840 3520 4150	0,442 0,542 0,642	6440 65 <b>00</b> 6460
4820	0,742	6500

Konst.  $_{\text{Mittel}}$  = 6475. C = 0,342 Mi.

4. R<sub>I</sub>.

$J_c$	$E_c$	Es	$W_t$	Ws	W <sub>K</sub>	cos q	Ø
0,1284	1950	1820	9,0	6,21	2.79	1110,0	0,0702
0,1684	2560	2380	15,9	10,30	5,60	0,0130	0,0817
0,2200	3360	3140	26,2	17,00	9,20	0.0110	0,0694
0,2700	4110	3860	39,2	25,00	14,20	0,0128	0,0804
0,3200	4860	4520	55,0	35,40	19,60	0,0126	0,0793
0,3700	5620	5240	74,0	44.80	29,20	0,0140	0,0883
0,4200	639 <b>0</b>	5990	97,8	60,70	37,10	0,0138	0,0870

#### Im Mittel:

$$\cos \varphi_{27,5} = 0.0126.$$
  $\mathbb{G}_{27,5} = 0.0795.$ 

$E_c$	$J_c$	Konst.
1950	0,1284	15 180
2540	0,1684	15 080
4120	0,2700	15 250
4890	0,3200	15 280

Konst. 
$$_{\text{Mittel}}$$
 = 15 200.  $_{\text{C}}$  = 0,1455 Mi.

## Messungen bei 31 °C.

	Isolat	ion :	Kapazi	ät:
$T_{I}$	396 I	Meg.	0,135	Mi.
$T_{II}$	700	»	0,213	>>
$T = T_I + T_{II}$	304	<b>»</b>	0,35	<b>»</b>
$R_I$	91	»	0,364	>

I. T<sub>I</sub>.

$J_c$	$E_c$	Es	$W_t$	Ws	$W_K$	cos $\varphi$	Œ
0,0884	1485	1620	6,21	3,38	2,83	0,0216	0,135
0,1284	2160	2350	12,88	7,02	5,86	0,0211	0,132
0,1684	2830	3100	21,85	12,30	9,55	0,0200	0,126
0,2200	3700	4070	36,50	19,60	16,90	0,0208	0.130
0,2700	4530	4980	54,50	28,50	26,00	0,0212	0,134
0,3200	5380	5900	78,10	42,20	35,90	0,0208	0,131
0,3700	6220	6790	103,70	55,50	48,20	0,0209	0,131

Im Mittel:

$$\cos \varphi_{31} = 0.0209.$$
  
 $\mathfrak{C}_{31} = 0.131.$ 

$E_c$	$J_c$	Konst.		
1485	0,0884	16 830		
2150	0,1284	16 730		
4530	0,2700	16 800		
5400	0,3200	16 900		

Konst. 
$$_{\text{Mittel}} = 16815$$
.  $C = 0,1315$  Mi.

## 2. T<sub>11</sub>.

$J_c$	E <sub>c</sub>	Es	$W_t$	Ws	$W_K$	cos $\varphi$	Œ
0,195	2050	2310	16,7	10,45	6,25	0,0156	0,0987
0,295	3110	3480	38,9	23,05	15,85	0,0173	0,1085
0,395	4170	4650	67,5	41,60	25,90	0,0157	0,0988
0,442	4660	5140	81,0	48,10	32,90	0,0160	0,1002
0,492	5190	5740	99,4	58,60	40,80	0,0160	0,1003
0,542	5710	6330	123,0	75,90	47,10	0,0152	0,0956
0,592	6250	6920	150,0	86,50	63,50	0,0172	0,1080
0,642	6770	_	178,0	101,40	76,60	0,0176	0,1104

$$\cos \varphi_{3i} = 0.0164.$$
 $\mathfrak{G}_{3i} = 0.1026.$ 

$E_{z}$	$J_c$	Konst.
2080	0,195	10 660
3120	0,295	10 580
568o	0,542	10 460
6700	0,642	10 430

Konst.  $_{\text{Mittel}} = 10530.$  C = 0.21 Mi.

## 3. $T = T_I + T_{II}$ .

$J_c$	E <sub>c</sub>	Es	$W_t$	Ws	$W_K$	cos q	Œ
0,542	3480	3900	90,0	53,5	36,5	0,0194	0,1220
0,642	4120	4600	125,6	77,7	47,9	0,0181	0,1140
0,742	4760	5350	162,0	100,8	61,2	0,0173	0,1090
0,842	5410	6050	205,5	129,0	,6,5	0,0168	0,1055
0,942	6050	6750	255,5	157,8	97,7	0,0171	0,1080

#### Im Mittel:

$$\cos \varphi_{31} = 0.0177.$$
 $\mathcal{C}_{31} = 0.112.$ 

$E_c$	$J_c$	Konst.
2840	0,442	6430
3490	0,542	6450
4100	0,642	6390
4770	0,742	6430

Konst.  $_{\text{Mittel}} = 6425$ . C = 0.344 Mi.

## 4. R<sub>I</sub>.

$J_c$	$E_{c}$	ES	$W_t$	Ws	$W_K$	cos $\varphi$	Œ
0,1284	1940	1820	9,47	6,21	3,26	0,0131	0,0825
0,1684	2550	2380	16,60	10,30	6,30	0,0146	0,0925
0,2200	3330	3140	27,10	17.00	10,10	0,0138	0,0869
0,2700	4080	3860	41,80	25,00	16,80	0,0152	0,0965
0,3200	4850	4520	57,40	35,40	22,00	0,0142	0,0895
0,3700	5600	5240	78,00	44,80	33,20	0,0160	0,1008
0,4200	6360	5990	98,50	60,70	37,80	0,0141	0,0890

#### Im Mittel:

$$\cos q_{31} = 0.0144.$$
  
 $\mathfrak{G}_{31} = 0.0911.$ 

$E_c$	$J_c$	Konst.
1940	0,1284	15 100
2550	0,1684	15 140
4000	0,2700	15 140
4850	0,3200	15 150

Konst. 
$$_{\text{Mittel}} = 15130.$$
  $C = 0.146 \text{ Mi.}$ 

## Messungen bei 35°C.

	Isolation:		Kapazität:	
$T_{I}$	286	Meg.	0,148	Mi.
$T_{II}$	612	<b>»</b>	0,220	>>
$T = T_I + T_{II}$	186	<b>»</b>	0,367	»
$R_{I}$	<i>7</i> 5	»	0,515	*

1.  $T_I$ .

$J_c$	$E_c$	Es	$W_t$	Ws	$W_K$	cos g	Œ
0,0884	1470	1820	5,73	3,38	2,35	0,0181	0,114
0,1284	2140	2380	11,72	7,02	4,70	0,0171	0,107
0,1684	2810	3140	20,65	12,30	8,35	0,0176	0,110
0,2200	3670	3860	33,70	19,60	14,10	0,0174	0,109
0,2700	4500	4520	51,10	28,50	22,60	0,0186	0,116
0,3200	5350	5240	72,60	42,20	30,40	0,0178	0,111
0,3700	6180	5990	102,50	55,50	47,00	0,0206	0,128

# Im Mittel:

$$\cos \varphi_{35} = 0.0182.$$
 $\mathfrak{E}_{35} = 0.113.$ 

$E_c$	$J_c$	Konst.
1460	0,0884	16 550
2120	0,1284	16 500
4940	0,2950	16 780
666o	0,3950	16 870

Konst.  $_{\text{Mittel}} = 16680.$ C = 0.133 Mi.

2. T<sub>II</sub>.

$J_c$	$E_c$	Es	$W_t$	Ws	$W_K$	cos φ	Œ
0,195	2030	2310	15,9	10,45	5,45	0,0138	0,0865
0,295	3070	3480	36,4	23,05	13.35	0,0147	0,0928
0,395	4110	4650	65,2	41,60	23,60	0,0145	0,0915
0,442	4610	5140	75,7	48,10	27,60	0,01,35	0,0850
0,492	5130	5740	93,5	58,60	34,90	0,0138	0,0869
0,542	5650	6330	118,8	75,90	42,90	0,0140	0,0880
0,592	6170	6920	136,0	86,50	49,50	0,0135	0,0850
0,642	6690		161,5	101,40	60,10	0,0140	0,0880

$$\cos \varphi_{35} = 0.014.$$
 $\mathfrak{C}_{35} = 0.088.$ 

$E_c$	$J_{c}$	Konst.
2030	0,195	10 400
3080	0,295	10 450
5630	0,542	10 380
6 <b>690</b>	0,642	10 420

Konst.  $_{\text{Mittel}} = 10410$ . C = 0.213 Mi.

## 3. $T = T_I + T_{II}$ .

$J_c$	Ec	Es	$W_t$	Ws	W <sub>K</sub>	cos φ	Œ
0,442	2810	3170	56,7	37,1	19,6	0,0158	0,0995
0,542	3440	3900	84,3	53,5	30,8	0,0165	0,1040
0,642	4080	4600	119,8	77.7	42, I	0,0160	0,1010
0,742	4710	5350	153,7	100,8	52,9	0,0151	0,0955
0,842	5350	6050	193,5	129,0	64,5	0,0143	0,0902
0,942	5990	6750	246,0	157,8	88,2	0,0156	0,0985

$$\cos \varphi_{35} = 0.0156.$$
  
 $\mathfrak{E}_{35} = 0.0981.$ 

$E_c$	$J_c$	Konst.	
2780	0,442	6290	
3440	0,542	6350	
4100	0,642	6390	
4740	0,742	6390	

Konst. 
$$_{\text{Mittel}} = 6355$$
.  $C = 0.348 \text{ Mi}$ .

### 4. R<sub>I</sub>.

$J_c$	$E_c$	Es	$W_t$	W <sub>S</sub>	$W_K$	cos $\varphi$	Œ
0,1284	1940	1820	11,05	6,21	4,84	0,0194	0,123
0,1684	2550	2380	18,70	10,30	8,40	0,0195	0,123
0,2200	3330	3140	31,10	17,00	14,10	0,0192	0,121
0,2700	4080	3860	46,90	25,00	21,90	0,0199	0,125
0,3200	4840	4520	65,80	35,40	30,40	0,0196	0,124
0,3700	5600	5240	86,70	44,80	41,90	0,0202	0,127
0,4200	6350	5990	113,00	60,70	52,30	0,0196	0,123

#### Im Mittel:

$$\cos \varphi_{35} = 0.0196.$$
 $\mathbb{G}_{35} = 0.124.$ 

$E_c$	$J_c$	Konst.		
1940	0,1284	15 100		
2540	0,1684	15 100		
4080	0,2700	15 100		
4850	0,3200	15 150		

Konst. 
$$_{\text{Mittel}} = 15110.$$
  
 $C = 0.146 \text{ Mi.}$ 

## Messungen bei 39,5°C.

	Isol	ation:	Kapazitāt:		
$T_{I}$	102,0	Megohm	0,160	Mi.	
$T_{II}$	220,0	»	0,226	>>	
$T = T_I + T_{II}$	70,5	»	0,375	<b>»</b>	
$R_I$	42,8	>>	0,700	<b>»</b>	

I.  $T_I$ .

$\overline{J_c}$	$E_c$	Es	$W_t$	Ws	W <sub>K</sub>	cos φ	Œ
0,0884	1450	1630	5,26	3,38	1,88	0,0147	0,0950
0,1284	2110	2350	10,92	7,15	3,77	0,0139	0,0900
0,1684	2770	3000	19,00	12,40	6,60	0,0141	0,0912
0,2200	3610	4080	31,70	19,95	11,75	0,0148	0,0960
0,2700	4430	5020	47,60	30,50	17,10	0,0143	0,0925
0,3200	5250	5890	67,20	41,40	25,80	0,0154	0,0995
0,3700	6080	-	91,80	55,40	36,40	0,0157	0,1015

# Im Mittel:

$$\cos \varphi_{39.5} = 0.0147.$$
 $\mathfrak{C}_{39.5} = 0.0951.$ 

$E_c$	$J_c$	Konst.		
1450	0,0884	16 400		
2100	0,1284	16 300		
4870	0,2950	16 500		
5690	0,3450	16 500		

Konst. 
$$_{\text{Mittel}} = 16425$$
  
 $C = 0,135 \text{ Mi.}$ 

2. T<sub>II</sub>.

$J_c$	E <sub>c</sub>	$E_S$	$W_t$	<b>W</b> S	WK	cos $\varphi$	Œ
0,195 0,295 0,395 0,442 0,492 0,542 0,592 0,642	2030 3070 4110 4600 5120 5650 6170 6680	2020 3030 4040 4550 5050 5550 6050	13,8 31,2 53,3 66,5 81,7 101,3 117,2 139,3	9,20 21,05 37,00 46,40 59,10 67,80 81,40 95,80	4,60 10,15 16,30 20,10 22,60 33,50 35,80 43,50	0,0116 0,0112 0,0100 0,0099 0,0090 0,0109 0,0098	0,0734 0,0706 0,0631 0,0590 0,0565 0,0687 0,0617

### Im Mittel:

$$\cos \varphi_{39,5} = 0,0103.$$
 $\mathfrak{E}_{39,5} = 0,0646.$ 

Humann, Dissertation.

$E_c$	$J_c$	Konst.		
2060	0,195	10 560		
3060	0,295	10 370		
5600	0,542	10 340		
6650	0,642	10 360		

Konst.  $_{\text{Mittel}} = 10410.$  C = 0.212 Mi.

## 3. $T = T_I + T_{II}$ .

$J_c$	$E_c$	Es	$W_t$	Ws	WK	cos q	Œ
0,442	2810	3220	52,6	37,1	15,5	0,0125	0,0788
0,542	3440	3920	78,3	57,0	21,3	0,0114	0,0720
0,642	4080	4630	107,5	75.8	31,7	0 0121	0,0765
0,742	4720	5350	137,0	99,5	37,5	0 0107	0,0673
0,842	5350	6030	180,0	128,5	51,5	0,0114	0,0720
0,942	5990	6760	224,0	156,0	68,0	0,0121	0,0760

$$\cos \varphi_{39.5} = 0,0117.$$
 $\mathfrak{C}_{39.5} = 0,0738.$ 

$E_c$	$J_c$	Konst.
2820	0,442	6390
3440	0,542	6360
4070	0,642	6340
4700	0,742	6340

Konst. 
$$_{\text{Mittel}} = 6360.$$
  $C = 0.348 \text{ Mi.}$ 

### 4. R<sub>I</sub>.

$J_c$	$E_c$	E <sub>S</sub>	$W_t$	Ws	$W_K$	cos q	Œ
0,1284 0,1684 0,2200 0 2700 0,3200 0,3700	1940 2540 3320 4070 4820 5580	1820 2380 3140 3860 4520 5240	13,28 22,65 38,60 58,50 82,90 107,50	6,21 10,30 17,00 25,00 35,40 44.80	7,07 12,35 21,60 33,50 47,50 62,70	0.0284 0,0289 0,0296 0,0305 0,0308 0,0304 0,0284	0,178 0,181 0,186 0,192 0,194 0,191

#### Im Mittel:

$$\cos \varphi_{39,5} = 0.0296.$$
  
 $\&_{39,5} = 0.186.$ 

$E_c$	$J_c$	Konst.
1930	0,1284	15 050
2530	0,1684	15 000
4080	0,2700	15 100
4840	0,3200	15 130

Konst. 
$$_{\text{Mittel}}$$
 = 15070.  $_{\text{C}}$  = 0,147 Mi.

## Messungen bei 44,5° C.

	Isolation:	Kapazitāt:
$T_I$	1220 Meg.	0,206 Mi.
$T_{II}$	1840 »	0,236 »
$T = T_I + T$	T <sub>II</sub> 78,5 »	0,436 »
$R_I$	21,I »	1,060 »

### I. $T_I$ .

$J_c$	Ec	Es	W <sub>t</sub>	Ws	$W_{K}$	cos q	Œ
0,0884	1440	1620	5,00	3,24	1,76	0,0138	0,0875
0,1284	2100	2340	10,45	7,10	3,35	0,0124	0,0782
0,1684	2750	2990	17,80	11,86	5,94	0,0128	0,0808
0,2200	3590	4050	30,40	19,40	11,00	0,0139	0,0880
0,2700	4410	4960	45,00	29,50	15,50	0,0130	0,0820
0,3200	5230	558o	63,20	40,10	23,10	0,0138	0,0870
0,3700	6040	_	85,70	53,60	32,10	0,0144	0,0905

#### Im Mittel:

$$\cos \varphi_{44,5} = 0.0134.$$
  
 $\&_{44,5} = 0.0849.$ 

$E_c$	Jc	Konst.
1440	0,0884	16 300
2080	0,1284	16 200
4850	0,2950	16 400
5670	0,3450	16 400

Konst. Mittel = 16320. 
$$C = 0.135 \text{ Mi.}$$

## 2. $T_{II}$ .

$J_{c}$	$E_c$	Es	$W_t$	Ws	W <sub>K</sub>	cos g	Œ
0,195 0,295 0,395 0,442 0,492 0,542 0,592 0,642	2020 3050 4090 4580 5100 5620 6130 6650	2300 3450 4620 5140 5710 6290 6850	14,1 31,2 56,1 68,1 79,7 100,0 117,8 138,6	10,0 22,8 38,9 47,0 58,3 73 2 85,5	4,1 8,4 17,2 21,1 21,4 26,8 32,3 38,6	0,01040 0,00935 0,01070 0,01040 0,00853 0,00882 0,00892	0,0652 0,0587 0,0670 0,0654 0,0534 0,0552 0,0569

$$\cos \varphi_{44.5} = 0,00952.$$
  
 $\&_{44.5} = 0,0597.$ 

Ec	$J_c$	Konst.
2030	0,195	10 400
3060	0,295	10 400
5580	0,542	10 300
6620	0,642	10 300

Konst.  $_{\text{Mittel}} = 10350.$ C = 0.214 Mi.

## 3. $T = T_I + T_{II}$ .

$J_c$	$E_c$	$E_S$	$W_t$	$W_S$	$W_K$	cos y	Œ
0,442	2780	3180	50,5	36,7	13,8	0,0112	0,0707
0,542	3400	3880	74,6	53,9	20,7	0,0112	0,0710
0,642	4030	4560	103,5	75,7	27,8	0,0107	0,0677
0,742	4670	5290	134.5	98,5	36,0	0,0104	0,0654
0,842	5290	5990	171,2	127,2	44,0	0,0099	0,0623
0,942	5920	6720	215,5	157,0	58,5	0,0105	0,0662

#### Im Mittel:

$$\cos \varphi_{44,5} = 0.0107.$$
  $\&_{44,5} = 0.0672.$ 

$\overline{E_c}$	$J_c$	Konst.
2780	0,442	6300
3400	0,542	6280
4020	0,642	6270
4670	0,742	6300

Konst.  $_{\text{Mittel}}$  = 6290.  $_{\text{C}}$  = 0,352 Mi.

4.  $R_I$ .

$J_c$	$E_c$	Es	$W_t$	$W_S$	Wĸ	cos q	Œ
0,1284 0,1684 0,2200 0,2700 0,3200 0,3700 0,4200	1900 2490 3260 4000 4740 5480 6220	1820 2480 3140 3770 4520 5220	19,2 32,8 56,5 83,3 114,4 156,0 202,0	6,07 10,30 16,90 25,00 33,70 46,10 58,90	13,13 22,50 39,60 58,30 80,70 109,90 143,10	0,0540 0,0537 0,0553 0,0541 0,0532 0,0545 0,0549	0,337 0,336 0,372 0,338 0,332 0,340 0,343

#### Im Mittel:

$$\cos \varphi_{44,5} = 0.0542.$$
 $\mathfrak{C}_{44,5} = 0.343.$ 

_	$E_c$	$J_c$	Konst.
	1890	0,1284	14 700
	249 <b>0</b>	0,1684	14 800
	4020	0,2700	14 900
	4750	0,3200	14 800

Konst. 
$$_{\text{Mittel}} = 14800.$$
  
 $C = 0.15 \text{ Mi.}$ 

#### Messungen bei 50°C.

Isolationswiderstand: Kapazität: 60,0 Megohm 0,276 80,0 » 0,278

 $T_{I}$  60,0  $T_{II}$  80,0  $T = T_{I} + T_{II}$  34,3 0,570

Die ballistische Messung war sehr unbestimmt, wahrscheinlich wegen des sehr niedrigen Isolationswiderstandes.

I.  $T_I$ .

$J_c$	Ee	ES	Wt	Ws	$W_K$	cos g	C
0,0884	1430	1630	4,92	3,37	1,55	0,0123	0,077
0,1284	2080	2350	10,00	6,69	3,31	0,0124	0,0776
9,1684	2720	3060	16,95	12,00	4,95	0,0108	0,0687
0,2200	3560	4070	28,20	18,75	9,45	0,0120	0,0757
0,2700	4360	4920	43,10	27,95	15,15	0,0129	0,0810
0,3200	5170	5860	59,50	40,20	19,30	0,0117	0,0733
0,3700	5970	· —	81,50	56,10	25,40	0,0115	0,0723

Im Mittel:

$$\cos q_{50,0} = 0.0119.$$
  
 $C_{50,0} = 0.0751.$ 

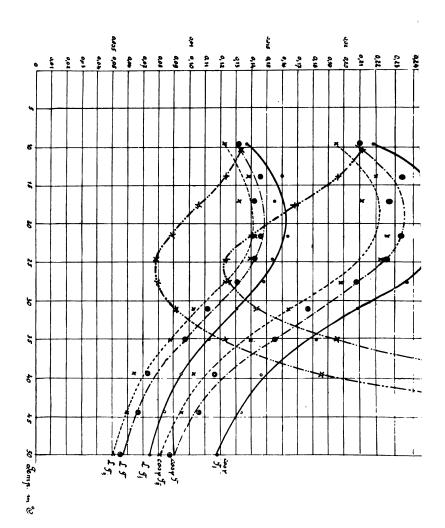
$E_c$	$J_c$	Konst.
1420	0,0884	16 100
2070	0,1284	16 100
4770	0,2950	16 200
5590	0,3450	16 200

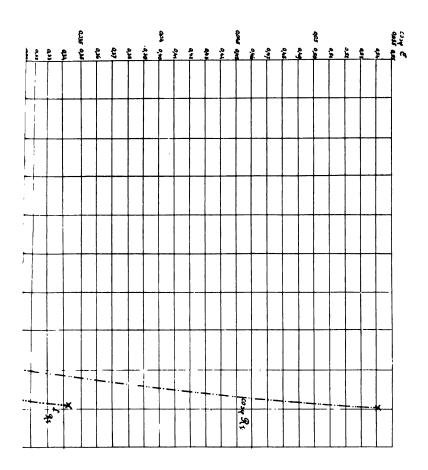
Konst. 
$$_{\text{Mittel}} = 16150.$$
  
 $C = 0.137 \text{ Mi.}$ 

2. T<sub>II</sub>.

$J_c$	E <sub>c</sub>	Es	$W_t$	$W_S$	$W_K$	cos g	હ
0,195	1980	2300	12,8	9,5	3.3	0,00855	0,0536
0,295	3000	3460	29,7	21,7	8,0	0,00906	0,0566
0,395	4010	4620	52,1	38,0	14,1	0,00892	0,0559
0,442	4490	5160	60,5	47,0	13,5	0,00682	0,0428
0,492	5000	5700	76,8	56,4	20,4	0,00830	0,0521
0,542	5510	6310	93,6	70,5	23,1	0,00775	
0,592	6020	6850	113,0	83,8	29,2	0,00820	0,0512
0,642	6530		130,2	98,5	31,7	0,00759	0,0475

$$\cos q_{50} = 0.00815.$$
  
 $C_{50} = 0.051.$ 





$E_c$	$J_c$	Konst.
1990	0,195	10 200
3020	0,295	10 250
5470	0,542	10 100
6480	0,642	10 100

Konst.  $_{\text{Mittel}} = 10 \, 160.$   $C = 0.218 \, \text{Mi}.$ 

3.  $T = T_I + T_{II}$ .

J.	$E_c$	Es	$w_t$	Ws	WK	cos q	C
0,442 0,542 0,642 0,742	2730 3350 3970 4590	3180 3880 4560 5290	46,2 69,3 97,3	36,2 52,9 73,5 97,8	10,0 16,4 23,8	0,00830 0,00904 0,00937 0,00977	0,0521 0,0567 0,0588 0,0613
0,842	5200 5820	5970	162,0	124,5	33,2 37,5 43,0	0,00857	0,0538

#### Im Mittel:

$$\cos \varphi_{50} = 0,00882.$$
  
 $\mathfrak{C}_{50} = 0,0553.$ 

$E_c$	$J_c$	Konst.
2750	0,442	6230
3350	0,542	6180
3970	0,642	6180
4580	0,742	6180

Konst. 
$$_{\text{Mittel}} = 6190.$$
  $C = 0.358 \text{ Mi.}$ 

Wir wollen jetzt die Ergebnisse der Untersuchungen bei den verschiedenen Temperaturen in Tabellen zusammenfassen.

		$\sigma$	
1	٠		T.

Temp. in °C	C'	Is.	cos g	Œ	С
٥٢	0.704	05 500	0.0018	0.7070	0.7040
9,5	0,134	25 700	0,0218	0,1370	0,1240
13,8	0,135	16 250	0,0255	0,1600	0,1250
17,0	0,137	6 68o	0,0248	0,1550	0,1260
21,5	0,138	4 000	0,0262	0,1640	0,1300
24,5	0,139	1850	0,0248	0,1540	0,1310
27,5	0,137	I I 20	0,0237	0,1480	0,1300
31,0	0,135	396	0,0209	0,1310	0,1315
35,0	0,148	286	0,0182	0,1130	0,1330
39,5	0,160	102	0,0147	0,0951	0,1350
44,5	0,206	122	0,0134	0,0849	0,1350
50,0	0,276	60	0,0119	0,0751	0,1370

## 2. $T_{II}$ .

Temp in °C.	C'	Is.	cos $\varphi$	Œ	C
9,5	0,216	61 800	0,01950	0,1230	0,2000
13,8	0,214	26 300	0,02200	0,1230	0,2010
17,0	0,216	14 550	0,02110	0,1320	0,2040
21,5	0,217	10 000	0,02260	0,1420	0,2080
24,5	0,217	4 590	0,02230	0,1400	0,2100
27,5	0,216	2 450	0,01980	0,1240	0,2085
31,0	0,213	700	0,01640	0,1026	0,2100
35,0	0,220	612	0,01400	0,0880	0,2130
39,5	0,226	220	0,01030	0,0646	0,2120
44,5	0,236	184	0,00952	0,0597	0,2140
50,0	0,278	80	0,00815	0,0510	0,2180

# $3. T = T_I + T_{II}.$

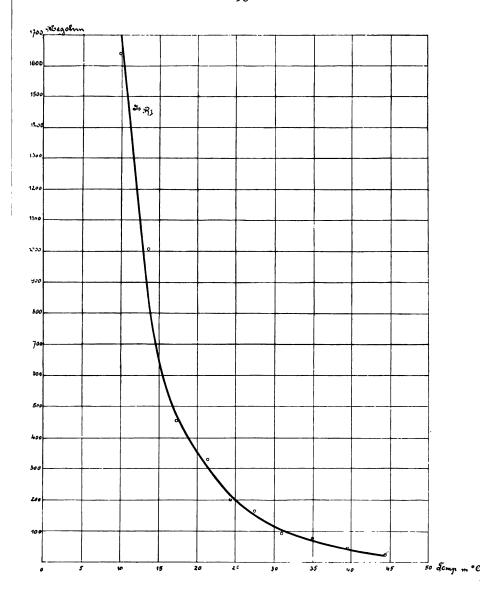
Temp. in °C	C'	Is.	cos $\varphi$	Œ	С
9,5 13,8 17,0 21,5 24,5 27,5 31,0 35,0 35,0 39,5 44,5 50,0	0,348 0,345 0,352 0,351 0,352 0,351 0,350 0,367 0,375 0,436 0,570	18 100,0 9 500,0 4 580,0 2 740,0 1 275,0 710,0 304,0 186,0 70,5 78,5 34,3	0,02100 0,02340 0,02270 0,02330 0,02260 0,01770 0,01560 0,01170 0,01070 0,01070	0,1320 0,1460 0,1420 0,1460 0,1420 0,1310 0,1120 0,0981 0,0738 0,0672 0,0553	0,324 0,328 0,334 0,338 0,342 0,342 0,344 0,348 0,348 0,352 0,358

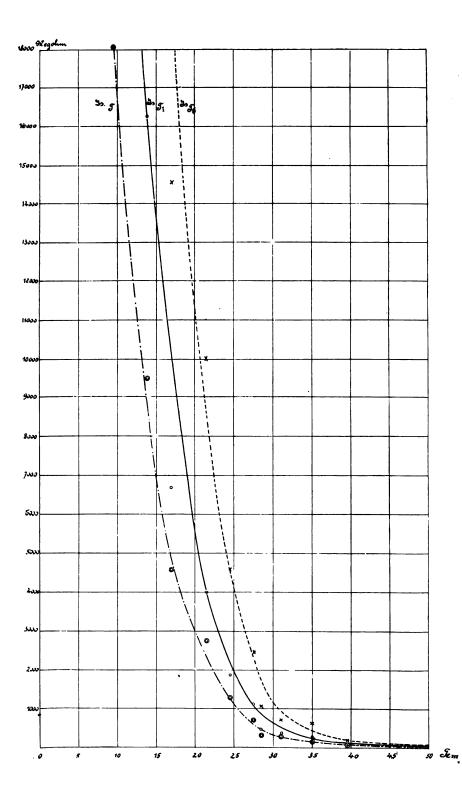
4. R<sub>I</sub>.

Temp. in <sup>6</sup> C.	C'	Is.	cos φ	Œ	С
10,3	0,151	1640,0	0,0211	0,1330	0,1420
13,8	0,155	1010,0	0,0196	0,1330	0,1430
17,5	0,165	456,0	0,0168	0,1060	0,1430
21,5	0,195	326,0	0,0141	0,0890	0,1480
24,5	0,227	200,0	0,0125	0,0780	0,1475
27,5	0,274	168,0	0,0126	0,0795	0,1455
31,0	0,364	91,0	0,0144	0,0911	0,1460
35,0	0,515	75,0	0,0196	0,1240	0,1460
39,5	0,700	42,8	0,0296	0,1860	0,1470
44,5	1,060	21,1	0,0542	0,3430	0,1500

Um eine bessere Übersicht über die erhaltenen Werte zu bekommen, sollen die Werte  $\cos \varphi$ ,  $\mathfrak E$  und die Isolationswiderstände in Abhängigkeit von der Temperatur graphisch aufgetragen werden.

Wir bemerken dabei, daß die Kabel der Klasse X bei ungefähr 200 C ein ausgeprägtes Maximum der Werte  $\cos \varphi$  und  $\mathcal{E}$  zeigen, d. h. bei dieser Temperatur weisen diese Kabel den größten Energieverlust auf. Mit steigender Temperatur über 200 C hinaus nimmt der Energieverbrauch sehr stark ab, eine Erscheinung, die unerwartet ist. Leider war es nicht möglich, die Temperatur des Wasserbehälters über 50°C hinaus zu steigern. Es wäre aber doch sehr wichtig, das Verhalten der Kabel bei noch höheren Temperaturen kennen zu lernen. Bei ungefähr 25°C zeigt dagegen das Kabel R<sub>I</sub> der Klasse Y ein deutliches Minimum des Verlustes. Der Energieverbrauch wächst dann bei höherer Temperatur sehr schnell. Da bei der praktischen Verwendung der Kabel die Kupferleiter durch die in ihnen fließenden Ströme erwärmt werden, und zwar läßt man eine Temperatur von 450 als obere Grenze in der Praxis zu, so muß das Kabel  $R_I$  zur Übertragung von hochgespannten Wechselströmen ungeeignet erscheinen, da eben die Energieverluste bei höherer Temperatur sehr stark ansteigen und ihrerseits die Temperatur der Kabel noch weiter erhöhen, so daß die Gefahr eines Durchschlages groß wird.





Vergleichen wir die Kurven für die Werte cos qu und &, welche ein Maß für den Energieverlust darstellen, mit den Kurven für den Isolationswiderstand, so ist deutlich zu erkennen, daß diese beiden, nämlich Energieverlust und Isolationswiderstand, nichts miteinander zu tun haben. In der Arbeit von Dr. Apt und Mauritius (Elektr. Zeitschrift 1903 S. 879) ist als Ursache der Energieverluste der Isolationswiderstand angegeben. In einem späteren Briefe (Elektr. Zeitschrift 1905 S. 419) wird diese Ansicht nochmals verfochten. Betrachten wir die Abhängigkeit des Isolationswiderstandes von der Temperatur, so finden wir bei den Kabeln der Klasse X bis zur Temperatur von 300 C ein sehr starkes Abfallen des Isolationswiderstandes mit der Temperatur. Bei 300 C fängt die Imprägniermasse an flüssig zu werden und über 300 hinaus ist der Abfall des Isolationswiderstandes langsamer. Energieverluste sind dagegen zwischen 15 und 30° nicht sehr verschieden, fallen aber über 300 hinaus bedeutend ab.

Nach der Ansicht von Dr. Apt und Mauritius müßten aber die Energieverluste mit steigender Temperatur zunehmen, da der Isolationswiderstand bedeutend abnimmt.

Der Energieverbrauch ist, wie aus den vorstehenden Messungen ersichtlich ist, proportional der Periodenzahl, d. h. er ist für einen Elektrisierungs-Zyklus, unabhängig von der Periodenzahl, konstant. Daraus können wir entnehmen, daß wir es mit dielektrischer Hysteresis zu tun haben.

In den Tabellen für die Kabel der Klasse X bemerkt man außerdem ein allmähliches Ansteigen der mit Wechselstrom gemessenen Kapazität C mit zunehmender Temperatur. Dasselbe ist auch in den Tabellen für die Kabel der Klasse Y zu beobachten. Bei den Kabeln der Klasse X bleibt die mit Gleichstrom gemessene Kapazität C bis ungefähr 3 1 0 0 C nahezu konstant, von dieser Temperatur an steigt aber C sehr stark an, der ballistische Ausschlag wird sehr unbestimmt. Die mit Gleichstrom gemessene Kapazität C des Kabels  $R_I$  fängt von Anfang an zu steigen. Diese Erscheinung muß einen ursächlichen Zusammenhang mit dem sehr niedrigen Isolationswiderstand haben.

Schon Rosa und Smith finden bei Paraffinpapier-Kondensatoren bei ungefähr 39°C ein scharf ausgeprägtes Maximum des Energieverlustes. Wenn die Temperatur über 39°C hinaus wächst, so nehmen die Verluste wieder ab. Bei 59°C aber sind die Verluste wieder ganz außergewöhnlich hoch. Es liegt damit eine Bestätigung der vorliegenden Ergebnisse vor.

Für die mitgeteilten Versuche war die elektrotechnische Versuchsanstalt des Carlswerks der Felten & Guilleaume-Lahmeyerwerke zu Mülheim a. Rhein mit ihren reichen Hilfsmitteln zur Verfügung gestellt worden. Der Firma soll hierfür und für das Entgegenkommen, mit welchem sie die Versuche jeder Zeit unterstützt und gefördert hat, an dieser Stelle der beste Dank ausgesprochen werden.

#### Lebenslauf.

Ich, Friedrich Paul Humann, wurde am 24. Februar 1876 zu Bochum i. W. als Sohn des † Kaufmanns Anton Humann und seiner Frau Luise geb. Gerber geboren. Nach dem frühen Tode des Vaters brachte mich die Mutter nach Mülheim a. Rh. Hier starb auch bald die Mutter und ich blieb zur weiteren Erziehung im Hause einer Schwester derselben.

Nach dem Besuche der unteren Klassen der Elementarschule kam ich zu Ostern 1885 auf das Realgymnasium in Mülheim, welches ich 1892 als Obersekundaner verließ, um als kaufmännischer Volontär bei der Firma Bergmann & Simons in Mülheim einzutreten. Um mich der Elektrotechnik zu widmen, kam ich im November 1893 als technischer Volontär in die Fabrik der E. A. G. vorm. Schuckert & Co. nach Nürnberg. Hier arbeitete ich in allen Abteilungen und auf Montage bis Juli 1894 und wurde dann als Monteur bei der E. A. G. Helios in Köln bis Dezember 1894 beschäftigt. Ostern 1895 bezog ich die technische Hochschule zu Darmstadt und im Herbst desselben Jahres diejenige zu Karlsruhe. Hier bestand ich nach vier Semestern die mathematisch-naturwissenschaftliche Vorprüfung und nach vier weiteren Semestern die akademische Schlußprüfung und das Diplomexamen in der Elektrotechnik. Schon im letzten Studiensemester war ich bei den Herren Hofrat Arnold und Professor Teichmüller als Assistent tätig und verblieb in dieser Stellung bis August 1900. Dann trat ich als Projektierungs-

